

## Die Vegetation des Naturschutzgebietes Feldungel-See bei Bramsche und ihre Veränderung seit Unterschutzstellung im Jahre 1932

mit 6 Abbildungen und 8 Tabellen

Eva-Maria Wahmhoff\*

**Kurzfassung:** 1981 wurde eine vegetationskundliche und hydrobiologische Untersuchung des Naturschutzgebietes (NSG) Feldungel-See, ca. 4 km östlich der Stadt Bramsche, Landkreis Osnabrück, durchgeführt, um den derzeitigen Zustand zu dokumentieren und die Veränderungen seit der Unterschutzstellung zu erfassen.

Mit einem Gesamtphosphatgehalt von 0,3 mg/l und einem Nitratgehalt von 2–5 mg/l ist der Feldungel-See als eutrophes Gewässer einzustufen. Von den zur Zeit der Unterschutzstellung vollständig vorhandenen Verlandungsgesellschaften sind heute einige verschwunden oder teilweise stark degeneriert. Insgesamt ist das Erlöschen von 24 Arten belegt; allein 15 davon werden in der „Roten Liste“ der Gefäßpflanzen Niedersachsens geführt. Weitere 10 Arten sind in starkem Rückgang begriffen. Als Ursache für die Verarmung der Flora sind Absenkungen des Grundwasserspiegels um über 50 cm, Einwirkungen aus landwirtschaftlich genutzten Nachbarflächen, insbesondere der Nährstoffeintrag, und die Erholungsnutzung des Gebietes verantwortlich. Zum Schutz der verbliebenen Naturwerte werden verschiedene Maßnahmen diskutiert.

### Inhaltsverzeichnis

1.	Einleitung . . . . .	140
2.	Das Untersuchungsgebiet . . . . .	141
3.	Methoden . . . . .	142
4.	Hydrographie . . . . .	143
5.	Vegetation . . . . .	145
5.1	Die Vegetationsverhältnisse zur Zeit der Unterschutzstellung . . . . .	145
5.2	Die heutige Vegetation . . . . .	145
5.2.1	Seerosen-Gesellschaft . . . . .	145
5.2.2	Röhrichte . . . . .	146
5.2.2.1	Pionier-Röhricht des Schmalblättrigen Rohrkolbens . . . . .	146
5.2.2.2	Gesellschaft der Gelben Schwertilie . . . . .	147
5.2.2.3	Bachröhricht . . . . .	148
5.2.3	Weiden- und Bruchwaldgürtel . . . . .	149
5.2.3.1	Weiden-Faulbaum-Gebüsch . . . . .	149
5.2.3.2	Erlenbruch . . . . .	150
5.2.4	Eichen-Birkenwald . . . . .	154

\* Eva-Maria Wahmhoff, Hollager Str. 162, 4512 Wallenhorst

6.	Die Veränderung der Vegetation als Folge der ökologischen Belastung .	156
6.1	Verarmung der Unterwasser- und Schwimmblattflora . . . . .	157
6.2	Veränderung des Röhrichtgürtels . . . . .	158
6.3	Veränderungen des Bruchwaldgürtels . . . . .	160
7.	Ausblick . . . . .	162
8.	Artenliste des NSG Feldungel-Sees . . . . .	163
	Schriftenverzeichnis . . . . .	167

## 1. Einleitung

Innerhalb des stark von der landwirtschaftlichen Nutzung bestimmten Osnabrücker Nordkreises gehört der Feldungel-See zu den wenigen naturnahen Überresten dieser einst von Heiden und Mooren geprägten Landschaft. Schon 1926 erkannten R. TÜXEN und K. KOCH den Wert dieses Gebietes als Dokument der Verlandung eines Sees zum Flachmoor und wirkten auf eine Unterschutzstellung hin, die 1932 erfolgte (RUNGE 1978).

Trotz dieser zeitigen Unterschutzstellung konnte das Gebiet nicht vor störenden Außeneinflüssen abgeschirmt werden. Da der umgebende Schutzbezirk hier wie in anderen Fällen auch (GRAHLE & STAESCHE 1964) zu eng gefaßt ist, wurde durch Freizeitbelastung, zufließende Nähr- und Schadstoffe, Entwässerung der umliegenden landwirtschaftlichen Nutzflächen und die Veränderung der Wasserkapazität des Zuflusses das Vegetationsgefüge empfindlich gestört. Die vegetationskundliche und hydrobiologische Untersuchung des NSG Feldungel-See folgt daher der Intention, vorhandene Störzustände zu dokumentieren und im Vergleich mit dem beschriebenen nahezu unberührten Zustand zur Zeit der Unterschutzstellung das Ausmaß der Veränderungen darzustellen. Die vorgestellten Pflanzengesellschaften sind demgemäß nicht als möglichst unveränderte, natürliche Gesellschaften anzusehen, sondern als solche, die nach Störungen ihrer Ökologie in charakteristischer Weise vom natürlichen Bild abweichen.

## 2. Das Untersuchungsgebiet

Das NSG Feldungel-See befindet sich etwa 4 km östlich der Stadt Bramsche, Landkreis Osnabrück, und liegt 47 m über NN (Abb. 1). Das gesamte Naturschutzgebiet umfaßt 5,14 ha, der See selbst nimmt davon eine Fläche von 2,01 ha ein (HOFFMEISTER 1970). Seine Ausdehnung in West-Ost-Richtung ist etwa dreimal so groß wie in Nord-Süd-Richtung. Der See ist im Durchschnitt 1,70 bis 2,00 m tief; die tiefste Stelle (3,10 m) liegt im Ostteil (HOFFMEISTER 1963) (Abb. 2).

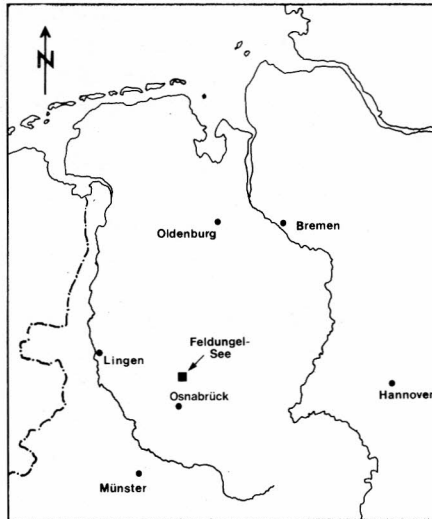


Abb. 1 Lage des Feldungel-Sees



Abb. 2 Luftbildaufnahme des NSG Feldungel-Sees, aufgenommen Anfang Juni 1982, aus Richtung Nord, Höhe 500 m.  
Freigegeben durch die Luftaufsichtsbehörde der Bezirksregierung Weser-Ems unter Nr.: 061/2  
Die enge Begrenzung des NSG durch Straße und Ackerflächen ist deutlich zu erkennen.

Die Entstehung des Sees ist auf einen Erdfall zurückzuführen, der durch Auslaugungen und Auswaschungen von Gips- und Salz-Einlagerungen in Schichten des oberen Jura (Malm) ausgelöst wurde. Daneben bestimmen die bis zu 60 m mächtigen saalezeitlichen Talsande die geologische Situation dieses Raumes. Deren untere Kies- und Grobsandschichten wirken als Wasserfilter für den auch heute noch bedeutsamen Grundwasserstrom (TIEDE 1970), der einige Kilometer weiter nördlich im Wittefeld für die Wasserversorgung der Stadt Osnabrück genutzt wird.

In den Feldungel-See münden zwei Zuflüsse. Der vom Kalkrieser Berg kommende Pelkebach durchfließt den See in west-nördlicher Richtung. Im Zuge der Mittellandkanal-Erweiterung wurde 1973 der Bach umgelegt und am Feldungel-See vorbeigeleitet. Erst nachträglich wurde der Bach wieder gegabelt, so daß heute zwei Drittel der Wassermenge wieder den See durchfließen. Der Lauf des Baches kurz vor Eintritt in den Feldungel-See ist im Rahmen von Flurbereinigungsmaßnahmen in den letzten Jahren begradigt worden und mündet heute ca. 50 m weiter südlich in den See.

Der zweite Grabenzufluß im südöstlichen Teil des NSG kommt aus den südlich des Sees bis an den Mittellandkanal grenzenden Wiesen und Äcker. Beide Zuflüsse sind als Vorfluter der umliegenden landwirtschaftlichen Nutzflächen ausgebaut. Messungen der Wasserzufluß- und Abflußmengen lassen darauf schließen, daß der See durch Quellwasser gespeist wird (HOFFMEISTER 1965).

Aus den seit 14 Jahren vom Neubauamt für den Ausbau des Mittellandkanals monatlich geführten Grundwasserstandslisten zweier Brunnen in unmittelbarer Nähe des Feldungel-Sees geht hervor, daß in diesem Zeitraum der Grundwasserspiegel um ca. 50 cm abgesunken ist. Als Ursachen dafür kommen neben dem Abpumpen des Grundwassers zur Wasserversorgung (BERGMAYER 1981 mündl.) die Entwässerungsmaßnahmen der umliegenden Feuchtwiesen in Betracht. Das Gesamtausmaß dieser Absenkung ist sicherlich noch größer, da die Meliorationsmaßnahmen bereits vor Beobachtungsbeginn erfolgten (HOFFMEISTER 1965).

Das Klima des Untersuchungsgebietes läßt sich als maritimes Übergangsklima charakterisieren. Die mittlere Temperatur im Januar liegt bei + 0,5°C, die Jahresmitteltemperatur bei 8,5°C. Bei einer mittleren Jahressumme von 739 mm sind die Niederschläge gleichmäßig auf die Monate verteilt.

### 3. Methoden

Die Proben für die hydrobiologischen Untersuchungen wurden am 6. 8. und am 3. 10. 1981 entnommen. Sauerstoffsättigung und pH-Wert wurden elektrometrisch festgestellt. Titrimetrisch erfolgte die Quantifizierung des freien Kohlendioxids, der Alkalinität, der Gesamthärte und des Chloridgehaltes. Die Farbbestimmung des Rohwassers sowie die Ermittlung der Nitrit-, Nitrat-, Ammonium-, Phosphat-, Eisen- und Kieselsäuregehalte erfolgte kolorimetrisch mit Hilfe eines Hellige-Neo-Farbkomparators. Um erste Hinweise über die Beschaffenheit des Feldungel-Wassers zu erhalten, wurde schon im Winter 1980/81 eine Probe durch das Institut für Agrikulturchemie in Göttingen analysiert. Außerdem wurden Vergleichswerte berücksichtigt, die 1963 von der Hydrobiologischen Arbeitsgemeinschaft des Naturwissenschaftlichen Vereins Osnabrück am Feldungel-See ermittelt wurden.

Die vegetationskundlichen Untersuchungen wurden nach der Methode von BRAUN-BLANQUET (1964) durchgeführt.

#### 4. Hydrographie

Der Wasserspiegel des Feldungel-Sees wies 1981 jahreszeitliche Schwankungen von rund 50 cm auf. Die Zuflüsse führten dem See im Winter ca. 30–50 l/sec. zu, ab Juni versiegten sie. Der Abfluß des Sees führte zu allen Jahreszeiten Wasser. Der Feldungel-See weist bei seiner meist geringen Tiefe naturgemäß keinen ausgeprägten limnischen Schichtenaufbau auf. Es kommt aber nicht zur Vollzirkulation der Wassermassen, da der Wind durch den umgebenden 15 m hohen Erlenbestand stark abgebremst wird. Der Feldungel-See gehört damit zur limnologischen Kategorie ‚Weither‘ oder ‚Flachsee‘ (GRAHLE & STAESCHE 1964).

Die Analysen des Freiwassers zeigen mit 11 mg/l (Tab. 1) an, daß der See im Gegensatz zu 1963 heute mäßige bis gute Sauerstoffverhältnisse besitzt. Die allgemein sehr hohen Kohlendioxidgehalte (37–47 mg/l) belegen die dominierende Rolle des CO<sub>2</sub>-reichen Grundwassers für die Wasserzufuhr des Sees. Der Pelkebach führt dem Feldungel-See Nitrate zu (20 mg/l). Durch den Verdünnungseffekt mit dem Grundwasser und durch Pflanzenentzug lag der Nitratgehalt 1981 bei 2–5 mg/l. Mit 0,3–0,4 mg/l wurden recht hohe Ammoniumgehalte gemessen. Nitrat- und Ammoniumverbindungen sind im Wasser gut löslich. Sie gelangen entsprechend ihrer Verfügbarkeit in der Bodenlösung mit dem Sicker- oder Grundwasser in die Gewässer. Die landwirtschaftliche Düngung der Acker- und Grünlandflächen mit Mineraldünger, vor allem aber mit organischem Dünger in Form von Gülle und Mist erhöht das Angebot an auswaschbarem Stickstoff. Durch Dränung wird der Zufluß in die Gewässer beschleunigt. Während der Hauptvegetationsphase wirkt die Transpiration der Pflanzen einer Abwärtsbewegung des Bodenwassers entgegen. Die Stickstoffauswaschung muß daher hauptsächlich im Zusammenhang mit der Ausbringung organischer Dünger auf brachliegende, unbewachsene Ackerflächen während der Vegetationsruhe von Herbst bis Frühjahr gesehen werden.

Bei der im Winter 1980/81 durchgeführten Messung wurde ein Gesamtphosphatgehalt von 0,3 mg/l festgestellt. Damit ist der Feldungel-See als eutrophes Gewässer einzustufen. Daß bei den im Sommer 1981 durchgeführten Messungen keine Phosphate nachgewiesen wurden, ist auf die hohe Nachweisgrenze der angewandten Methode (0,15 mg/l) zurückzuführen. Phosphat liegt im Boden schwerlöslich an organischem Material adsorbiert oder an Metallen gebunden vor, so daß es nicht ausgewaschen werden kann. In den Pelkebach gelangende Haushalts- und Hofabwässer dürften daher die entscheidende Rolle bei der Phosphatanreicherung spielen.

Leider liegen gerade für die Nährstoffgehalte keine Vergleichswerte aus der Untersuchung der Hydrobiologischen Arbeitsgemeinschaft von 1963 vor. Zu diesem Zeitpunkt herrschte am Feldungel reger Badebetrieb, der erst durch die Einrichtung eines Freibades am Darnsee reduziert wurde. Außerdem wurden bis zum Einschreiten der Naturschutzbehörde 1966 sämtliche Abwässer der widerrechtlich auf den südlich angrenzenden Grundstücken errichteten Wochenendhäuser in den Feldungel geleitet (BEYER mündl. 1981). Der See war also in dieser Zeitspanne in starkem Maße Eutrophierung begünstigenden Einflüssen ausgesetzt. Die extrem niedrigen Sauerstoffwerte von 1963 weisen in diese Richtung-

Tab. 1 Wasseranalyse-Werte

	Termin	Entnahmestellen							
		1	2	3	4	5	W	O	T
Temperatur °C	I	20	21	21	21	21	-	23	22
	II	13	12	12,5	12	12	-	16	16
Farbe (Roh) mg PT/l	I	40	40	40	40	40	-	-	-
	II	70	60	60	50	60	-	-	-
Farbe (gefil.) mg PT/l	I	30	30	30	30	30	-	-	-
	II	40	50	50	10	30	-	-	-
Leitfähigk. 20° C mS	I	460	450	455	450	460	-	-	-
	II	467	437	437	388	437	-	-	-
Sauerstoff mg/l	I	11	11	9	3	5	-	3,4	1,9
	II	6	4,5	6	1,3	1,3	-	2,5	1,0
O <sub>2</sub> -Sättigung %	I	124	127	101	35	58	-	41	22
	II	59	43	58	12	12	-	26	11
O <sub>2</sub> -Sätt.-Defi- zit mg/l	I	+ 2,2	+ 2,3	+ 0,1	- 5,7	- 3,7	-	- 5,0	- 6,6
	II	- 4,2	- 5,9	- 4,3	- 9,2	- 9,1	-	- 7,1	- 8,1
freies CO <sub>2</sub> mg/l	I	26	22	34	53	47	-	46	50
	II	31	32	20	23	37	-	20	45
Alkalinität nHCL/l	I	2,5	2,0	2,3	1,6	2,0	1,8	2,8	2,8
	II	1,7	1,9	1,8	0,8	2,0	-	3,0	2,7
Karbonat-Härte °KH	I	7,0	5,6	6,4	4,5	5,6	5,0	7,8	7,8
	II	4,8	5,3	5,0	2,2	5,6	-	8,4	7,5
pH-Wert	I	8,0	7,9	7,8	7,5	7,6	-	7,1	6,9
	II	7,0	7,2	7,1	-	7,5	-	7,0	7,0
Gesamt-Härte °dH	I	8,4	9,0	9,5	8,4	9,5	10	13	-
	II	11,2	11,2	11,2	8,4	10,6	-	-	-
Nitrat mg/l	I	4	2	2	20	4	3	-	-
	II	5	4	3	20	3	-	-	-
Ammonium mg/l	I	0,4	0,3	0,7	0,6	0,6	1,4	-	-
	II	0,3	-	0,2	nn	0,5	-	-	-
Nitrit mg/l	I	0,02	0,02	0,02	0,04	0,02	-	-	-
	II	nn	0,01	0,01	0,02	nn	-	-	-
Phosphat mg/l	I	nn	nn	nn	nn	nn	0,3	-	-
	II	-	-	-	-	-	-	-	-
Chlorid mg/l	I	79	81	79	69	81	100	-	-
	II	76	74	94	96	72	-	-	-
Kalium mg/l	I	-	-	-	-	-	9,1	-	-
	II	-	-	-	-	-	-	-	-
Kieselsäure mg/l	I	2,5	2,3	2,4	2,4	2,6	-	-	-
	II	5,0	5,0	5,0	2,5	5,0	-	-	-
Eisen mg/l	I	0,06	0,06	0,06	0,3	0,3	-	-	-
	II	0,6	0,7	0,6	0,7	0,7	-	-	-
Kaliumpermanga- natverbrauch	I	-	-	-	-	-	3,8	-	-
	II	-	-	-	-	-	-	-	-

1: freies Wasser vor Ostufer; 2: Nordwestbucht; 3: Randzone am Südufer;  
4: Pelkebach-Mündung; 5: Abfluß; W: Winter 1980/81; O: Oberflächenwasser 1963;  
T: 2 m Tiefe 1963

## 5. Vegetation

### 5.1 Die Vegetationsverhältnisse zur Zeit der Unterschutzstellung

In seinem Gutachten zur Schutzwürdigkeit des Feldungel-Sees beschreibt KOCH (1929) alle typischen Verlandungsgesellschaften. Er erwähnt das Nupharetum, das Scirpo-Phragmitetum – wobei er das reichliche Vorkommen von *Phragmites australis* und *Ranunculus lingua* betont –, weiter das Frangulo-Salicetum cinereaee mit *Salix aurita*, hebt den Reichtum an *Myrica gale* hervor und beschreibt die Ausbildung einzelner *Sphagnum*-Rasen, die am Bruchwaldrand in ein Ericetum übergehen. In seiner Abhandlung „Natur- und Landschaftsschutz im Reg.-Bezirk Osnabrück“ von 1941 finden sich detaillierte Angaben zum Ericetum. KOCH nennt hier u. a. *Gentiana pneumonanthe* und *Drosera rotundifolia*. In seiner „Flora des Regierungsbezirks Osnabrück“ wird das Vorkommen weiterer seltener Arten angegeben (KOCH 1958):

Vertreter der Gesellschaften des offenen Wassers:

<i>Utricularia australis</i>	<i>Ranunculus circinatus</i>
<i>Baldellia ranunculoides</i>	<i>Ranunculus trichophyllus</i>
<i>Luronium natans</i>	

Vertreter der Röhrichtgesellschaften:

<i>Apium repens</i>	<i>Cicuta virosa</i>
---------------------	----------------------

Vertreter der Zwergbinsengesellschaften:

<i>Cicendia filiformis</i>	<i>Juncus capitatus</i>
<i>Epipactis palustris</i>	<i>Triglochin palustre</i>
<i>Isolepis setacea</i>	

Vertreter der Glockenheidegesellschaften:

<i>Narthecium ossifragum</i>	<i>Vaccinium oxycoccus</i>
<i>Andromeda polifolia</i>	

Dieser Ausschnitt aus dem damaligen Arteninventar dokumentiert eine Übergangsphase zwischen einem mesotrophen und einem eutrophen Gewässer. Das resultiert aus den oligotrophen Ausgangsverhältnissen des Sees und dem natürlicherweise nährstoffreichen Wasser des im Kalkrieser Berg entspringenden Pelkebachs.

### 5.2 Die heutige Vegetation

#### 5.2.1 Seerosen-Gesellschaft

(Myriophyllo-Nupharetum W. KOCH 1926)

Als einzige Pflanzengesellschaft des offenen Wassers ist das Myriophyllo-Nupharetum in der einartigen Ausprägung von *Nymphaea alba* vorhanden. Deren große, rundliche Schwimmblätter bedecken eine bis zu 30 m breite Uferzone. *Nymphaea alba* wurzelt am Feldungel-See bis zu einer Wassertiefe von 2,3 m, meist auf einer 1,0 bis 1,5 m mächtigen Faulschlammdecke.

Ein Foto von K. KOCH aus dem Jahre 1941 beweist, daß früher auch das Hydrocharietum morsus-ranae am Feldungel angesiedelt war. Es findet sich heute noch als einartiger Reliktbestand von *Hydrocharis morsus-ranae* am Westufer des wenige Kilometer westlich gelegenen Darnsees.

## 5.2.2 Röhrichte

Der ursprünglich ausgeprägte Röhrichtgürtel ist heute bis auf Fragmente verschwunden, wobei die typische Zonierung verwischt ist. Die Gesellschaften kommen direkt nebeneinander in enger Verzahnung vor.

### 5.2.2.1 Pionier-Röhricht des Schmalblättrigen Rohrkolbens (*Typha angustifolia*-Pionierröhricht)

An einigen Stellen ist vor dem Röhricht ein Pionierstadium mit hohen Beständen des Schmalblättrigen Rohrkolbens abgrenzbar. *Typha angustifolia* wurzelt hier bis zu einer Wassertiefe von 80–100 cm. Bei Tiefen um 80 cm ist neben dieser Art *Rumex hydrolapathum* mit seinen großen breit-lanzettlichen Blättern aspektbildend. Sein Vorkommen leitet über zu den artenreicheren Hauptröhrichtbeständen. Einen Sonderfall stellen kleine Bestände ca. 3 m vor dem Nordufer dar (Aufn. 5 in Tab. 2). Die Rhizome sind nicht fest im Boden verankert, sondern bilden kleine schwimmende Inseln, auf

Tab. 2 Phragmiton-Gesellschaften

1. *Typha angustifolia* – Pionierröhricht
2. *Iris pseudacorus*-Gesellschaft
  - 2.1 typische Variante
  - 2.2 Variante mit *Solanum dulcamara*

Lfd. Nr.	1						2.1				2.2				
	1	2	3	4	5	6	7	8	9	10	11	12	13	14	
Größe d. Aufnahmefl. qm	3	10	2	5	4	15	4	4	6	5	12	15	8	10	
Wassertiefe cm	95	95	80	80	80	70	40	40	50	50	30	30	30	40	
Bestandeshöhe dm	15	18	18	18	20	18	8	10	8	8	8	6	8	8	
VB %	5	10	20	50	80	80	70	90	60	60	60	60	90	60	
Artenzahl	1	3	2	3	4	4	6	8	11	6	11	14	14	10	
<i>D</i> <sub>1</sub>	<i>Typha angustifolia</i>	1	1	2	2	5	2	.	.	+	.	+	.	.	
<i>D</i> <sub>2</sub>	<i>Iris pseudacorus</i>	.	.	.	.	.	.	2	2	3	5	3	4	2	3
	<i>Ranunculus lingua</i>	.	.	.	.	2	.	2	2	+	+	1	+	2	+
	<i>Lycopus europaeus</i>	.	.	.	.	+	.	1	2	.	+	.	1	1	4
	<i>Mentha aquatica</i>	.	.	.	.	+	.	.	2	.	+	+	+	+	+
	<i>Sparganium erectum</i>	.	.	.	.	.	.	.	2	+	.	.	2	4	.
	<i>Lysimachia vulgaris</i>	.	.	.	.	.	.	+	.	+	.	2	.	+	1
<i>d</i> <sub>2.2</sub>	<i>Solanum dulcamara</i>	.	.	.	.	.	.	.	.	+	.	.	+	1	1
	<i>Lythrum salicaria</i>	.	.	.	.	.	.	.	.	.	+	1	+	+	.
	<i>Cardamine pratensis</i>	.	.	.	.	.	.	.	.	.	.	1	.	+	+
	<i>Bidens tripartita</i>	.	.	.	.	.	.	.	.	.	.	.	+	+	+
	<i>Juncus effusus</i>	.	.	.	.	.	.	.	.	.	.	1	.	.	1
	<i>V-K</i>	<i>Phragmites australis</i>	.	.	.	.	.	.	.	.	.	.	.	1	.
	<i>Rumex hydrolapathum</i>	.	.	+	2	1	1	.	1	1	.	1	+	+	.
	<i>Carex pseudocyperus</i>	.	.	.	.	.	.	.	.	.	.	.	+	.	.
	<i>Carex elata</i>	.	.	.	.	.	.	.	.	.	.	.	+	.	.
	<i>Alisma plantago-aquatica</i>	.	.	.	.	.	.	.	.	.	.	.	.	+	.
Begl.	<i>Menyanthes trifoliata</i>	.	1	.	1	.	2	.	2	2	.	.	+	.	.
	<i>Potentilla palustris</i>	.	.	.	.	.	.	.	1	.	+	1	.	.	.
	<i>Salix cinerea</i> Str.	.	.	.	.	.	.	.	+	.	+	.	.	+	.
	<i>Scirpus sylvaticus</i>	.	2	.	.	.	.	.	.	.	.	.	.	.	.
	<i>Carex rostrata</i>	.	.	.	.	.	.	.	.	.	.	2	.	.	.
	<i>Caltha palustris</i>	.	.	.	.	.	.	.	.	.	.	.	.	.	1

Außerdem mit + in Nr.:

9: *Myrica gale*, 12: *Stachys palustris*, 13: *Lemna minor*



denen *Mentha aquatica* und *Lycopus europaeus* siedeln. Ein typisches Teichbinsen-Initialstadium, wie es in flachen schlammhaltigen Gewässern weit verbreitet ist, z. B. im Dümmer, im Seeburger See, im Balksee (WEBER 1978) und im Langholter Meer (DIERSCHKE 1975), fehlt im Gegensatz zu früher heute völlig.

Zwischen den Röhrichtpionieren wie auch vor dem Hauptröhricht und eingestreut in dessen Bestände finden sich zumeist nur vegetative Exemplare von *Menyanthes trifoliata*. Als Vertreterin des Magnocaricionis wird die Fieberklee-Gesellschaft (Carici-Menyanthetum Soo 1955) heute mehr und mehr aus ihrer angestammten Zone zwischen Röhricht und Weidengürtel verdrängt. Mit Hilfe der untergetauchten, weitgreifenden Rhizome vermag *Menyanthes trifoliata* sich noch als Unterwuchs in den vorgelegerten Gesellschaften zu halten, bildet aber keine eigenständige Assoziation mehr.

#### 5.2.2.2 Gesellschaft der Gelben Schwertlilie (*Iris pseudacorus*-Gesellschaft)

Im Röhricht des Feldungel fehlt das gewöhnlich den Gesamteindruck bestimmende Schilf völlig. Da *Iris pseudacorus* in allen Aufnahmen mengenmäßig vorherrscht, ist es zutreffender, statt vom Scirpo-Phragmitetum W. KOCH 1926 von einer *Iris pseudacorus*-Gesellschaft zu sprechen. Ihre Charakterisierung bei OBERDORFER (1977) als meist einartige Gesellschaft an kleinen, stark verschmutzten Bächen über kalkhaltigem Grund trifft nur insofern zu, als *Iris pseudacorus* mit einer Reihe Begleitern zwar eutrophe, aber keine verschmutzten Verhältnisse im mäßig kalkhaltigen Feldungel-See anzeigt. In den meisten Aufnahmen sind auch die Arten des Pionierstadiums vertreten, da in ihnen keine Abtrennung zwischen den seewärts vorgelagerten *Typha*-Beständen und dem Hauptröhricht erkennbar war. Wie stark die Verzahnung der Gesellschaften fortgeschritten ist, läßt sich daraus ersehen, daß bereits Jungwuchs von *Alnus glutinosa* und *Salix cinerea* wie auch *Myrica gale* ins Röhricht vorgedrungen ist. Innerhalb der *Iris pseudacorus*-Gesellschaft läßt sich neben einer typischen Variante eine weitere mit *Solanum dulcamara* abtrennen.

Die typische Variante präsentiert sich als ca. 1 m hoher, dichter Bestand, zu dessen Arteninventar neben *Iris pseudacorus*, *Ranunculus lingua*, *Lycopus europaeus*, *Mentha aquatica*, *Sparganium erectum* und *Lysimachia vulgaris* gehören. Besonders *Ranunculus lingua* tritt stellenweise in größeren Herden auf. Diese Art, die aufgrund ihrer Abwasserempfindlichkeit (WEBER-OLDECOP 1969) zum Beispiel im Lechtegor, Kreis Emsland, in wenigen Jahren aus dem Röhricht verschwunden ist (WEBER 1977) und in der Roten Liste der akut vom Aussterben bedrohten Arten geführt wird (HAEUPLER et al. 1983), scheint von den Eutrophierungstendenzen im Feldungel-See bisher wenig beeinträchtigt worden zu sein.

In der Variante mit *Solanum dulcamara* sind artenreiche Bestände zusammengefaßt, die auf ufernahen, im Sommer zeitweise trockenfallenden Flächen siedeln und daher aus dem Erlbruch vordringenden Arten den Zutritt ermöglichen. Als Trennarten fungieren neben *Solanum dulcamara*, *Bidens tripartita*, *Lythrum salicaria* und *Cardamine pratensis*. Mit Stickstoff-Zeigerwerten von 8 (ELLENBERG 1974) deuten *Solanum dulcamara*, *Bidens tripartita* und die je einmal vorkommenden Arten *Alisma plantago-aquatica* und *Stachys palustris* etwas verbesserte Nährstoffbedingungen an. In diesem Bereich halten sich auch die letzten kümmerexemplare von *Phragmites australis*. Die einzelnen schlechtwüchsigen Horste von *Carex elata* können vermutlich als Relikte einer ehemaligen Magnocaricion-Zone angesehen werden.

### 5.2.2.3 Bachröhricht

(Sparganio-Glycerietum fluitantis BR.-BL. 1925)

In den Mündungsbereichen der Zuflüsse, im Abflußtrichter sowie im Gebiet der ehemaligen Westzuflußmündung haben sich Röhrichtbestände angesiedelt, die sich durch einen höheren Anteil an kleinwüchsigen, krautigen, unter- oder oberirdisch kriechenden Pflanzen von den hochwüchsigen steifblättrigen Teichröhrichten unterscheiden. Zu ihrem Arteninventar gehören neben Phragmitetalia-Ordnungscharakterarten *Ranunculus lingua*, *Iris pseudacorus*, *Alisma plantago-aquatica* und Röhrichtbegleitern besonders Kriechpioniere wie *Myosotis palustris*, *Veronica beccabunga* und *Berula erecta*, wobei jedoch die namengebenden Charakterarten *Sparganium*

Tab. 3 Sparganio-Glycerietum fluitantis BR.-BL. 1925

1. Variante mit *Epilobium hirsutum*
2. kennartenlose Variante
3. Variante mit *Agrostis stolonifera*

Lfd. Nr.	1.		2.			3.
	1	2	3	4	5	6
Größe d. Aufnahmevl. qm	15	10	10	10	8	6
Wassertiefe cm	40	20	15	25	10	5
Bestandeshöhe cm	60	30	30	40	40	25
VB %	70	80	100	95	60	50
Artenzahl	14	20	10	17	13	18
Ch						
<i>Veronica beccabunga</i>	+	.	3	1	+	3
<i>Berula erecta</i>	.	+	+	+	.	.
<i>Nasturtium officinale</i>	.	r	.	.	.	.
D <sub>1</sub>						
<i>Epilobium hirsutum</i>	2	2	.	.	.	.
D <sub>3</sub>						
<i>Agrostis stolonifera</i>	.	.	.	.	.	1
<i>Glyceria fluitans</i>	.	.	.	.	.	+
<i>Ranunculus repens</i>	.	.	.	.	.	+
V-K						
<i>Ranunculus lingua</i>	1	+	3	3	+	1
<i>Sparganium erectum</i>	2	.	.	2	2	.
<i>Carex rostrata</i>	.	2	.	+	2	.
<i>Carex pseudocyperus</i>	+	.	+	+	.	.
<i>Rumex hydrolapathum</i>	2	.	.	.	+	.
<i>Alisma plantago-aquatica</i>	.	.	+	+	.	.
<i>Iris pseudacorus</i>	.	.	.	2	+	.
<i>Typha angustifolia</i>	3	.	.	.	.	.
<i>Cicuta virosa</i>	.	+	.	.	.	.
<i>Sium latifolium</i>	.	+	.	.	.	.
<i>Phragmites australis</i>	.	.	.	.	.	r
Bgl.						
<i>Myosotis palustris</i>	1	+	2	+	+	+
<i>Mentha aquatica</i>	1	1	2	2	+	1
<i>Lycopus europaeus</i>	+	1	.	1	1	+
<i>Cardamine pratensis</i>	+	1	+	.	+	.
<i>Bidens tripartita</i>	.	+	.	+	+	+
<i>Lythrum salicaria</i>	+	2	.	+	.	.
<i>Callitriche palustris</i> agg.	+	.	+	+	.	.
<i>Lemna minor</i>	.	+	.	+	+	.
<i>Juncus effusus</i>	.	.	.	1	+	+
<i>Scutellaria galericulata</i>	.	+	.	.	+	.
<i>Lysimachia vulgaris</i>	.	+	.	.	.	+

Je einmal in Aufnahme 1: *Menyanthes trifoliata* +;  
in 2: *Potentilla palustris* 2, *Agrostis canina* +,  
*Galium elongatum* +; in 4: *Salix cinerea* (Str.) 1;  
in 6: *Eupatorium cannabinum* +, *Epilobium obscurum* +,  
*Holcus lanatus* +, *Caltha palustris* +

in 2: *Acrocladium cuspidatum* +; in 6: *Eurhynchium praelongum* +, *Pellia epiphylla* +

*neglectum* und *Glyceria fluitans* überhaupt nicht bzw. nur stellenweise vertreten sind. Statt die Bestände der komplexen Assoziation des Sparganio-Glycerietum fluitantis zuzuordnen, könnte man sie auch als *Veronica beccabunga*-Gesellschaft (OBERDORFER 1977) bezeichnen.

Bachröhrichte siedeln auf nur flach überschwemmten Standorten und bilden sich je nach den Strömungsverhältnissen unterschiedlich aus. Bei den geringen Strömungsgeschwindigkeiten der Feldungel-Zuflüsse ist die dortige Ausprägung durch fließende Übergänge mit dem Teichröhricht verbunden. Die Bestände sind vergleichsweise artenreich (mittlere Artenzahl 16), bunt und vielgestaltig. Besonders aspektbildend sind die gelben Blüten von *Ranunculus lingua* im Juni bis Juli. *Nasturtium officinale*, eine Charakterart des Sparganio-Glycerietum fluitantis, ist lediglich mit einzelnen Kümmerexemplaren im neuangelegten Bett des südwestlichen Zuflusses vertreten. In Tab. 3 lassen sich die ersten beiden Aufnahmen mit *Epilobium hirsutum* und anderen hochwüchsigen Stauden wie *Rumex hydrolapathum*, *Cicuta virosa* und *Sium latifolium* abgrenzen. Sie entstammen jeweils der seeseitigen Front des Zufluß- und Ausflußtrichters. Von der Gruppe der zur kennartenlosen Variante zusammengefaßten Aufnahmen grenzt sich die letzte (Nr. 6) durch den stärkeren Anteil an Kriechpionieren ab. Die hochwüchsigen Röhrichtvertreter fehlen. Diese Aufnahme entstammt dem landseitigen Abschnitt der südöstlichen Zuflußmündung.

### 5.2.3 Weiden- und Bruchwaldgürtel

#### 5.2.3.1 Weiden-Faulbaum-Gebüsch (Frangulo-Salicetum cinereae MALCUIT 1929)

Das Grauweiden-Gebüsch ist nur in einem schmalen, unterbrochenen Gürtel um den Feldungel-See herum entwickelt. Es schließt entweder an die Röhrichtbestände an, oder die etwa 3 m hohen Buschgruppen begrenzen direkt die Wasserfläche. Sie schieben sich mit ihren niederliegenden Stämmen und dem ausladenden Astwerk ca. 4 m weit auf die Wasserfläche hinaus. Die Öhrchenweide (*Salix aurita*), früher häufig in dieser Assoziation am Feldungel anzutreffen (KOCH 1929), ist heute aus dem NSG verschwunden. Lediglich einzelne Weidenbastarde zwischen *Salix aurita* und *Salix cinerea* bezeugen noch ihr früheres Vorkommen. Sowohl im Weidengürtel als auch im anschließenden Erlenbruch zeichnen sich Unterschiede in der Artenzusammensetzung zwischen nördlichem und südlichem Uferbereich ab, die auf Standortunterschiede zurückzuführen sind. Das Weidengebüsch des Nordufers stockt auf einem Anmoorgley, während es sich am Südufer auf 65 cm mächtigen Niedermoorhorizonten entwickelt hat.

Im nördlichen Uferbereich steht die Anmoorauflage zwischen den Weidenbulten ganzjährig unter Wasser. In diese Zone dringen einige Röhrichtarten, insbesondere *Iris pseudacorus* ein (Aufn. 1 u. 2 in Tab. 4). Vergleichbare Verhältnisse herrschen außerdem in der Nähe des Südostzuflusses (Aufn. 3). In der Krautschicht des Weidengürtels auf der Südseite dominieren dagegen weniger anspruchsvolle Arten. *Eriophorum angustifolium* und die Charakterarten der Kleinseggensümpfe treten dort mit der *Sphagnum*-reichen Moosschicht zu einer gut abgrenzbaren Gesellschaft zusammen. Darüberhinaus sind hier auch die bekannten Erlenbrucharten vertreten. Zusammen mit *Frangula alnus* und *Alnus glutinosa*, die die Strauchschicht bereichern, sind sie als Folgeerscheinung der allgemein guten Nährstoffversorgung zu interpretieren. Einige

Tab. 4 Frangulo-Salicetum cinereae MALCUIT 1929

1. Variante ohne *Frangula alnus*

2. Variante mit *Frangula alnus*

Lfd. Nr.	1			2	
	1	2	3	4	5
Aufnahmefläche qm	30	10	30	15	15
Baumschicht VB %	0	0	20	0	40
Strauchschicht VB %	60	60	15	50	60
Krautschicht VB %	75	40	30	40	20
Moosschicht VB %	0	0	0	15	8
Artenzahl	3	8	16	24	30
Ch	<i>Salix cinerea</i> Str.	4	4	2	3
	<i>Frangula alnus</i> Str.	.	.	.	1 2
	<i>Myrica gale</i> Str.	.	.	.	. 1
D	<i>Eriophorum angustifolium</i>	.	.	.	1 2
	<i>Sphagnum squarrosum</i>	.	.	.	2 1
	<i>Potentilla palustris</i>	.	.	.	1 r
	<i>Galium palustre</i>	.	.	.	+ +
	<i>Acrocladium cuspidatum</i>	.	.	.	+ +
	<i>Mnium affine</i>	.	.	.	+ r
V-K	<i>Solanum dulcamara</i>	3	2	1	+ .
	<i>Lycopus europaeus</i>	.	1	1	+ .
Begl.	<i>Iris pseudacorus</i>	4	3	+	2 +
	<i>Lysimachia vulgaris</i>	.	.	+	2 +
	<i>Lythrum salicaria</i>	.	+	+	+ .
	<i>Mentha aquatica</i>	.	1	1	+ .
	<i>Cardamine pratensis</i>	.	.	+	+ r
	<i>Agrostis canina</i>	.	.	r	+ 1
	<i>Alnus glutinosa</i> B.	.	.	2	. 2
	<i>Alnus glutinosa</i> Str.	.	.	1	2 .
	<i>Filipendula ulmaria</i>	.	+	+	. .
	<i>Caltha palustris</i>	.	+	.	+ .
	<i>Sparganium erectum</i>	.	.	+	+ .

Je einmal in Aufnahme 3: *Myosotis palustris* 2, *Ranunculus lingua* +, *Deschampsia cespitosa* +; in 4: *Betula pubescens* Str. 1; *Juncus articulatus* 1; *Carex nigra* +, *Menyanthes trifoliata* r, *Mnium cuspidatum* r; in 5: *Betula pendula* B. 2, *Betula pubescens* B. 2, *Alnus incana* 1, *Polytrichum commune* 1, *Juncus effusus* +, *Sphagnum fallax* +, *Sphagnum teres* +, *Mnium hornum* +, *Atrichum undulatum* +, *Carex canescens* +, *Viola palustris* +, *Lophocolea bidentata* +, *Cephalozia bicuspidata* +, *Hydrocotyle vulgaris* r, *Quercus robur* Kr. r, *Drepanocladus spec.* r

Exemplare von *Myrica gale* sind als Relikt des vor 50 Jahren noch üppig entwickelten Gagel-Gebüschaumes, der sich seither durch Nährstoffeintrag zum Weidengebüsch weiterentwickelt hat, erhalten. Das Vorkommen von *Myrica gale* zeigt an, daß im Gegensatz zum Weidengebüsch am Nordufer, das eher dem Salicetum pentandrocinnereae PASS 1971 zuzuordnen ist, diese Bestände dem Myrico-Salicetum cinereae TX et PASS 1961 nahestehen.

### 5.2.3.2 Erlenbruch

(*Carici elongatae* – *Alnetum glutinosae* TX & BODEUX 1955)

Im Unterschied zum Weidengürtel erreicht der Erlenbruchwald als gesetzmäßiges Endstadium der Verlandungsreihe beträchtliche Ausmaße. Er schließt sich in einer 20 bis 50 m breiten Zone dem Weidengebüsch an. Nach außen hin schließen sich die norddeutschen Sanderflächen typischen Eichen-Birken-Waldbestände und Kiefernforste an.

Zwischen den Erlen entwickelt sich daher eine üppige Krautschicht aus nässeliebenden, zum Teil anspruchsvollen Arten, die aber keine herausragenden Blühaspekte im Sommer hervorzubringen vermögen. Innerhalb des Erlengürtels des Nordwestbereiches zeichnet sich eine Zonierung ab. Während die Erlen im Übergangsbereich zum Weidengebüsch auf überschwemmten Anmoorgleyen stocken, gedeihen sie am äußeren Gürtelrand auf abgetrockneten humosen Böden etwa 30 bis 50 cm über dem mittleren Grundwasserstand. Eine derartige Verteilung ist durch den leichten Abfall des Geländes zum See hin vorgegeben. Durch die allgemeine Grundwasserabsenkung in der Umgebung wird diese Zonierung zum See hin vorverlagert. Heute entsprechen lediglich die ufernahen 10 bis 20 m des Gürtels dem Bild des echten Erlenbruchs. Sie werden während der winterlichen Hochwasserperiode überschwemmt und weisen auch in trockeneren Jahreszeiten oberflächennahe Grundwasserstände auf. Die höhergelegenen Areale stellen Degenerationstadien eines ehemals staunassen Erlenbruchs dar.

Die unterschiedlichen Bodenverhältnisse von Nord- und Südseite werden auch im Erlenbruch deutlich. Auf einer 30 cm mächtigen Schicht aus stark zersetztem, dunkelbraunem *Sphagnum*-Torf und einer darüberliegenden 35 cm mächtigen mäßig zersetzten mittelbraunen Bruchwaldtorfschicht am Südufer herrschte ursprünglich ein reiner Birkenbruch vor (KOCH 1929, ALTEHAGE 1965). Er hat sich heute aufgrund der verbesserten Nährstoffbedingungen zu einem Birken-Erlenbruch (*Carici elongatae-Alnetum glutinosae betuletosum pubescentis* BODEUX 1955) entwickelt, wobei die Erle mittlerweile in der Baumschicht dominiert (Aufn. 1–7 in Tab. 5). Der floristische Aufbau läßt die Verwandtschaft zum Myrico-Salicetum cinerea erkennen, aus dem dieser Birken-Erlenbruch in primärer progressiver Sukzession hervorgeht. Als Kennarten erscheinen die Vertreter der Hundstraußgras-Grauseggensümpfe *Carex canescens*, *Agrostis canina*, *Carex nigra*, *Molinia caerulea*, außerdem *Viola palustris* und weniger häufig *Carex rostrata* und *Carex echinata* sowie *Sphagnum* und *Polytrichum commune* in der Mooschicht. Hauptsächlich im Südwesten breitet sich *Viola palustris* in Herden aus und bestimmt den Frühjahrsaspekt. Im Sommer prägen die Torfmoosrasen das Bild. Sie schieben sich in tiefer liegenden Senken zungenförmig zwischen die Erlen- und Birkenbulte, wobei *Sphagnum recurvum* und *Sphagnum squarrosum* nebeneinander vorkommen. Am Rande dieser Polster schließt sich *Polytrichum commune* an, bis es von der herdenartig sich ausbreitenden *Carex nigra* abgelöst wird. Daneben finden sich eine Reihe feuchteliebender Arten, über die der Birken-Erlenbruch mit dem typischen Erlenbruch verbunden ist.

Die Zone des typischen Erlenbruchs verläuft in einer Breite von 20 bis 30 m vom nordöstlichen Teil des NSG am Nordufer entlang bis zum südwestlichen Zufluß. In der Baumschicht herrscht die Erle vor. Die Krautschicht ist vielgestaltig. Neben Horsten von *Juncus effusus* und *Carex elata* sind *Iris pseudacorus*, *Lycopus europaeus*, *Mentha aquatica*, *Cardamine pratensis*, *Carex remota*, *Solanum dulcamara* und *Galium palustre* zu finden. Durch diese Arten ist der Erlenbruch der mittelmäßig reichen Subassoziation mit *Ranunculus repens* zuzuordnen, wobei diese Art nur vereinzelt auftritt (Aufn. 8–11).

Die Erlenbruch-Charakterarten *Carex elongata*, *Calamagrostis canescens* und *Thelypteris palustris* (BODEUX 1955) fehlen völlig.

Durch die Grundwasserabsenkung ist auf den abgetrockneten Böden der äußersten Erlenbruchzone eine Verschiebung in der Vegetationszusammensetzung eingetreten (Aufn. 12–15). Die typischen Erlenbruchpflanzen fehlen, während sich eine Reihe gesellschaftsfremder Arten einstellt, die sich auf den staunassen Böden des typischen

Tab. 5 Carici elongatae-Alnetum glutinosae Tx & BODEUX 1955

1. betuletosum pubescentis BODEUX 1955
2. ranunculetosum repentis BODEUX 1955
3. Degenerationsstadium mit *Lonicera periclymenum*
- 3.1 typische Subvariante
- 3.2 Subvariante mit *Humulus lupulus*
- 3.3 Waldsaum-Subvariante mit *Aegopodium podagraria*

Lfd. Nr.	1						2				3.1				3.2			3.3			
	*1	2	3	4	5	6	7	8	9	10	11	12	13	14	15	16	17	18	19	20	21
Baumschicht VB %	70	75	70	60	90	65	65	60	50	70	70	65	75	70	70	70	70	70	80	70	60
Strauchschicht VB %	15	15	20	5	30	5	5	20	10	0	50	50	60	30	60	55	65	80	20	30	20
Krautschicht VB %	60	60	35	60	50	90	50	30	50	10	5	20	20	40	70	35	80	40	90	90	90
Moosschicht VB %	5	30	5	35	1	10	1	1	0	1	1	1	1	0	0	0	1	1	1	0	0
Aufnahmefläche qm	100	50	100	30	100	30	20	60	30	15	80	60	80	60	50	80	40	100	40	40	60
Artenzahl	39	18	25	21	24	18	18	15	16	17	20	21	19	18	18	21	17	18	40	39	58
CH																					
Alnus glutinosa B.	4	4	4	3	5	2	3	4	4	4	4	4	3	2	4	4	4	4	2	3	4
Alnus glutinosa Str.	+	+	.	.	+	.	+	.	.	.	.	.	+	1	.	+	.	.	.	+	.
Ribes uva-crispa	.	.	.	.	.	.	.	.	.	.	.	.	.	.	1	.	.	.	.	1	.
D <sub>1</sub>																					
Betula pubescens B.	+	2	+	3	1	4	3	.	.	.	.	.	2	2	.	.	1	+	.	.	1
Betula pubescens Str.	+	.	.	r	.	.	r	.	.	.	.	.	.	.	.	.	1	.	.	+	1
Carex canescens	+	1	+	1	1	+	+	.	.	.	.	.	.	.	.	.	.	.	.	.	.
Agrostis canina	+	2	1	2	+	1	1	.	.	.	.	.	.	.	.	.	.	.	.	.	.
Carex nigra	+	4	1	2	+	1	1	.	.	.	.	.	.	.	.	.	.	.	.	.	.
Molinia caerulea	.	+	1	2	+	.	+	.	.	.	.	.	.	.	.	.	.	.	.	.	1
Viola palustris	2	.	2	+	1	.	3	.	.	.	.	.	.	.	.	.	.	.	.	.	.
Polytrichum commune	+	1	.	1	.	1	+	.	.	.	.	.	.	.	.	.	.	.	.	.	.
Sphagnum squarrosum	+	1	.	2	.	4	.	.	.	.	.	.	.	.	.	.	.	.	.	.	.
Sphagnum palustre	1	2	1	.	.	.	.	.	.	.	.	.	.	.	.	.	.	.	.	.	.
Acrocladium cuspidatum	+	.	+	.	+	.	.	.	.	.	.	.	.	.	.	.	.	.	.	.	.
Carex echinata	+	+	+	.	.	.	.	.	.	.	.	.	.	.	.	.	.	.	.	.	.
Sphagnum recurvum	.	2	.	2	.	3	.	.	.	.	.	.	.	.	.	.	.	.	.	.	.
Carex rostrata	.	1	.	1	.	1	.	.	.	.	.	.	.	.	.	.	.	.	.	.	.
U1-2																					
Iris pseudacorus	1	.	+	+	+	.	.	1	1	+	r	.	.	.	.	.	.	.	.	.	+
Carex remota	2	.	1	+	2	.	.	.	+	1	+	.	.	.	.	.	.	.	.	.	.
Carex pseudocyperus	+	.	.	.	+	+	.	+	.	.	+	.	.	.	.	.	.	.	.	.	.
Lythrum salicaria	+	.	.	.	.	.	.	1	+	.	.	.	+	.	.	.	.	.	.	.	.
Agrostis stolonifera	.	+	+	1	+	.	.	.	+	.	.	.	.	.	.	.	.	.	.	.	+
Juncus effusus	1	.	+	.	+	+	.	.	.	.	+	.	.	.	.	.	.	.	.	.	.
D <sub>2</sub>																					
Ranunculus repens	.	.	.	.	.	.	.	.	.	+	+	.	.	.	.	.	.	.	.	.	+
Solanum dulcamara	.	.	.	.	.	.	.	1	1	1	+	.	.	.	.	.	.	.	.	.	.
Lycopus europaeus	+	.	.	.	.	.	.	1	2	.	.	.	.	.	.	.	.	.	.	.	+
Galium palustre	.	.	.	.	r	.	.	+	+	+	.	.	.	.	.	.	.	.	.	.	+
Mentha aquatica	.	.	.	.	.	.	.	+	2	1	.	.	.	.	.	.	.	.	.	.	.
Cardamine pratensis	.	.	.	.	.	.	.	+	+	+	.	.	.	.	.	.	.	.	.	.	.
D <sub>3</sub>																					
Urtica dioica	.	.	.	.	.	.	.	r	.	.	.	.	+	+	.	1	.	+	1	1	4
Lonicera periclymenum	.	.	.	.	.	.	.	.	.	.	.	.	+	+	2	+	.	+	.	.	+
Moehringia trinervia	.	.	.	.	.	.	.	.	.	.	.	.	+	+	1	+	.	+	1	+	.
Circea lutetiana	.	.	.	.	.	.	.	.	.	.	.	.	+	+	.	.	.	+	2	1	.
Sambucus nigra	.	.	.	.	.	.	.	.	.	.	.	1	.	2	2	.	2	2	2	.	1
Ribes rubrum	.	.	.	.	.	.	.	.	.	.	1	1	+	1	4	2	2	1	.	.	.
Quercus robur	.	.	.	.	.	.	.	.	.	.	.	.	.	2	+	.	1	1	.	2	3
Pinus sylvestris	.	.	.	1	.	.	.	.	.	.	.	.	2	3	2	1	.	.	.	.	.
Betula pendula	.	.	.	.	.	.	.	.	.	.	.	1	2	.	.	.	.	.	.	2	1
Galeopsis tetrahit	.	.	.	.	.	.	.	.	.	.	.	r	.	.	.	r	.	.	.	.	+
d <sub>3.2</sub>																					
Humulus lupulus	.	.	.	.	.	.	.	.	.	.	.	.	.	.	.	r	3	2	.	.	.
Galium aparine	.	.	.	.	.	.	.	.	.	.	.	.	.	.	.	.	3	+	.	1	1
d <sub>3.3</sub>																					
Aegopodium podagraria	.	.	.	.	.	.	.	.	.	+	.	.	.	.	.	.	.	.	.	.	2
Geum urbanum	.	.	.	.	.	.	.	.	.	.	.	.	.	.	.	.	.	.	.	.	2
Stellaria media	.	.	.	.	.	.	.	.	.	.	.	.	.	.	.	.	.	.	.	.	+
Dactylis glomerata	.	.	.	.	.	.	.	.	.	.	.	.	.	.	.	.	.	.	.	.	1
Begl.																					
Lysimachia vulgaris	2	1	2	2	2	+	1	.	2	1	r	1	+	+	+	+	1	1	.	+	1
Rubus gratus	1	.	+	.	3	r	+	.	1	.	3	3	4	1	2	2	3	4	.	1	2
Rubus ideaus	+	.	+	.	1	.	+	.	+	.	2	2	2	2	2	2	1	.	.	1	.
Frangula alnus	1	.	+	1	1	1	+	.	1	.	1	.	+	.	.	.	.	.	.	+	1
Mnium hornum	+	+	+	1	+	+	+	.	.	.	+	.	.	.	.	.	.	.	.	.	.

Lfd. Nr.	1							2				3.1				3.2			3.3		
	*1	2	3	4	5	6	7	8	9	10	11	12	13	14	15	16	17	18	19	20	21
<i>Dryopteris carthusiana</i>	+	.	+	.	+	.	+	.	.	+	+	.	2	+	+	+	.	.	.	.	.
<i>Sorbus aucuparia</i>	+	.	.	.	.	+	.	.	.	1	.	1	.	2	2	1	.	1	1	2	.
<i>Holcus lanatus</i>	.	.	.	+	+	.	.	.	.	.	.	.	r	+	.	.	+	.	2	2	.
<i>Salix cineria</i>	+	.	.	.	.	1	.	2	1	.	.	.	.	.	.	.	.	.	1	1	.
<i>Deschampsia caespitosa</i>	.	.	+	.	.	.	.	.	.	.	.	.	r	.	+	+	+	.	+	+	.
<i>Sorbus aucuparia</i> Str.	.	.	.	.	+	.	+	.	.	.	.	.	1	.	1	.	+	.	.	.	.
<i>Eurynchum praelongum</i>	+	.	.	.	.	.	.	.	.	+	.	+	+	.	.	.	.	.	.	.	.
<i>Agrostis tenuis</i>	.	.	.	.	.	.	.	r	1	.	.	.	+	.	.	.	.	.	.	.	+
<i>Equisetum arvense</i>	.	.	.	.	.	.	.	.	.	+	.	+	.	.	.	.	.	.	+	r	.
<i>Frangula alnus</i>	.	+	.	.	.	.	+	.	.	1	.	.	.	.	.	.	.	.	.	.	.
<i>Rubus placidus</i>	.	.	1	.	.	.	.	.	.	.	.	.	.	.	.	.	.	.	.	1	1
<i>Athyrium filix-femina</i>	.	.	.	.	.	.	.	.	.	+	.	.	.	.	.	.	.	.	.	.	r
<i>Geranium robertianum</i>	.	.	.	.	.	.	.	.	.	.	.	.	.	.	.	+	.	.	+	+	.
<i>Rumex acetosa</i>	.	.	.	.	.	.	.	.	.	.	.	.	.	.	.	.	.	.	r	+	+
<i>Juncus articulatus</i>	+	.	1	.	.	.	.	.	.	.	.	.	.	.	.	.	.	.	.	.	.
<i>Bidens tripartita</i>	+	.	.	.	.	.	.	.	+	.	.	.	.	.	.	.	.	.	.	.	.
<i>Plagiothecium denticulatum</i>	+	.	.	.	.	.	.	.	.	+	.	.	.	.	.	.	.	.	.	.	.
<i>Poa trivialis</i>	.	.	+	.	.	.	.	.	.	.	.	.	.	.	.	.	.	.	.	1	.
<i>Pellia epiphylla</i>	.	.	+	.	+	.	.	.	.	.	.	.	.	.	.	.	.	.	.	.	.
<i>Rubus conochothrysoides</i>	.	.	1	.	.	.	.	.	.	.	.	.	.	.	.	.	.	.	+	.	.
<i>Salix cineria x aurita</i>	.	.	.	.	.	.	+	.	.	.	.	.	.	.	.	.	.	.	.	.	1
<i>Scirpus sylvaticus</i>	.	.	.	+	.	.	.	.	.	+	.	.	.	.	.	.	.	.	.	.	.
<i>Viburnum opulus</i>	.	.	.	.	.	.	.	.	.	.	.	.	+	1	.	.	.	.	.	.	.
<i>Epipactis helleborine</i>	.	.	.	.	.	.	.	.	.	.	.	.	.	.	.	.	+	.	r	.	.
<i>Chaerophyllum temulum</i>	.	.	.	.	.	.	.	.	.	.	.	.	.	.	.	.	.	.	+	+	.
<i>Taraxacum officinale</i>	.	.	.	.	.	.	.	.	.	.	.	.	.	.	.	.	.	.	+	+	.
<i>Poa annua</i>	.	.	.	.	.	.	.	.	.	.	.	.	.	.	.	.	.	.	+	+	.
<i>Cirsium arvense</i>	.	.	.	.	.	.	.	.	.	.	.	.	.	.	.	.	.	.	+	+	.
<i>Heracleum sphondylium</i>	.	.	.	.	.	.	.	.	.	.	.	.	.	.	.	.	.	.	+	.	1
<i>Prunus padus</i>	.	.	.	.	.	.	.	.	.	.	.	.	.	.	.	.	.	.	+	+	.
<i>Fraxinus excelsior</i>	.	.	.	.	.	.	.	.	.	.	.	.	.	.	.	.	.	.	.	1	+
<i>Chrysanthemum vulgare</i>	.	.	.	.	.	.	.	.	.	.	.	.	.	.	.	.	.	.	.	+	+

Außerdem je einmal in 1: *Hydrocotyle vulgaris* 1, *Glyceria fluitans* 1, *Aulacomnium androgynum* +, *Lophocolea heterophylla* +, *Phragmites australis* +, *Mnium punctatum* +, *Potentilla palustris* +; in 2: *Luzula multiflora* +; in 8: *Myosotis palustris* +, *Carex elata* +, *Alisma plantago-aquatica* +; in 10: *Phalaris arundinacea* 2, *Sparganium erectum* 1, *Mnium cuspidatum* +, *Cirsium palustre* +, in 12: *Vaccinium myrtillus* 1, *Dicranella heteromalla* +; in 13: *Salix pentandra* +; in 14: *Maianthemum bifolium* 1; in 15: *Polygonatum multiflorum* +; in 16: *Listera ovata* +; in 19: *Populus nigra* 2, *Crataegus monogyna* 1, *Betula pendula* +, *Ranunculus ficaria* +, *Epilobium obscurum* +, *Filipendula ulmaria* +, *Cephaloziella starkeii* +; in 20: *Lamium album* 1, *Eupatorium cannabinum* 1, *Rubus ferocior* 1, *Populus tremula* 1, *Fagus sylvatica* 1, *Stachys sylvatica* +, *Ranunculus auricomus* +, *Vicia cracca* +, *Convolvulus arvensis* +, *Plantago major* +; in 21: *Holcus mollis* 1, *Rubus plicatus* 1, *Valeriana procurrens* 1, *Polygonum mite* +, *Scutellaria galericulata* +, *Prunus serotina* +, *Arrhenatherum elatius* +, *Fallopia convolvulus* +, *Angelica sylvestris* +, *Lolium perenne* +, *Trifolium repens* +, *Plantago lanceolata* +, *Juncus bulbosus* +, *Achillea ptarmica* +, *Cerastium arvense* +, *Hieracium sylvaticum* +, *Lotus uliginosus* +, *Rumex acetosella* +, *Potentilla anserina* +.

Erlenbruchs nicht halten können. Entscheidend bestimmt wird das Bild durch die üppige *Rubus*-Flora, die sich als Überlagerung ausgebreitet hat. Von den Brombeerarten sind vor allem *Rubus gratus*, vereinzelt auch *Rubus placidus* und *Rubus ferocior* vertreten. Daneben ist die Himbeere sehr häufig. Die Strauchschicht erreicht Deckungsgrade bis zu 60 %. Trennarten unter den Sträuchern sind *Sambucus nigra*, *Ribes rubrum* und *Quercus robur*. Sie folgen dem abgesenkten Grundwasserstand, zeigen aber gleichzeitig verbesserte Nährstoffbedingungen an.

Im *Rubus*-reichen Unterwuchs kann sich besonders das Waldgeißblatt durchsetzen, da es in der Lage ist, an den Sträuchern emporzuklettern und so lichtreichere Positionen aufzusuchen. Daneben treten Arten hervor, die als Humuswurzler gerade diese frisch-humosen, lockeren Böden bevorzugen, wie *Moehringia trinervia*, *Circea luteitiana* und *Galeopsis tetrahit*. Auch *Urtica dioica* gehört in diese Kategorie, leitet aber schon zu der durch *Humulus lupulus* abgrenzbaren Subvariante über. Gegenüber der typischen Subvariante (Aufn. 12–15) zeichnet sich diese Ausbildung mit Stickstoffzeigern wie *Humulus lupulus*, *Galium aparine* und *Urtica dioica* als außerordentlich nährstoffreich aus (Aufn. 16–18). Derartige Vegetationsverhältnisse sind auf den Westbereich des Naturschutzgebietes beschränkt.

Am Rande zur Straße im Norden sowie zum Acker im Westen dringen zahlreiche nitrophile Arten wie *Aegopodium podagraria*, *Geum urbanum*, *Stellaria media* und *Dactylis glomerata* in die Erlenbestände ein. Zusammen mit *Poa trivialis*, *Arrhenatherum elatius*, *Glechoma hederacea* und der stark vorherrschenden *Urtica dioica* wie auch *Galium aparine* sind die wichtigsten Vertreter des Urtico-Aegopodietum TX. 1963 vorhanden (Auf. 19–21). Überlagert werden diese Brennessel-Giersch-Gesellschaftsfragmente von einem artenreichen *Rubus*-Gestrüpp. Neben dem anspruchlosen *Rubus gratus* kommen *Rubus conothyrsoides*, *Rubus ferocior* und *Rubus plicatus* vor.

In einer stark vernäbten Mulde hat sich im Schatten der Erlen eine *Sium latifolium*-Gesellschaft herausgebildet.

#### 5.2.4 Eichen-Birkenwald (*Querco-Betuletum* Tx. 1937)

Am Rande der Feldungel-Senke geht der Erlenbruch in den im Gebiet natürlich vorherrschenden Eichen-Birkenwald über. Er stockt auf der Nordseite auf stark podsolierten, am Ost- und Südufer auf schwach podsolierten Sandböden. Die pH-Werte spiegeln die unterschiedliche Grundwasserbeeinflussung wider. Während das Grundwasser in den am Birken-Erlenbruch angrenzenden Beständen bis auf 20–30 cm unter der Oberfläche ansteht (pH 7,0 in 22 cm Tiefe), sind die Oberflächenschichten am Ostrand des NSG grundwasserfrei und versauern unter der Einwirkung der Rohhumussäuren. Besonders am Nordrand ist die Erle noch häufig in der Baumschicht anzutreffen. Zusammen mit *Lysimachia vulgaris* zeigt sie die Nachbarschaft des Erlenbruchs an (Aufn. 1–4, Tab. 6). Die typischen Säurezeiger des Eichen-Birkenwaldes, darunter auch die der Mooschicht fehlen größtenteils, sodaß diese Bestände zusammengefaßt als *Querco-Betuletum alnetosum* BURRICHTER 1973 direkt an das Degenerationsstadium des Erlenwaldes anschließen.

Als lokale Kennarten des *Querco-Betuletum molinietosum* Tx 1937 können *Avenella flexuosa*, *Vaccinium myrtillus*, *Epilobium angustifolium* und *Moehringia trinervia* betrachtet werden. Die beiden letzten kommen hauptsächlich vegetativ in wenig vitalen Exemplaren vor. Als Rohhumuszehrer finden sie Zutritt zu dieser anspruchlosen Gesellschaft, die zahlreiche Ernährungsspezialisten wie z. B. *Melampyrum pratense* enthält. Auf etwas bessere Bedingungen deuten *Polygonatum multiflorum* und *Holcus mollis* am Südwestrand des Gebietes hin (Aufn. 11–13). Das weiche Honiggras kann sich hier gegenüber der sonst vorherrschenden Drahtschmiele durchsetzen. Zudem wurden hier die einzigen Vorkommen von *Polypodium vulgare* und *Ilex aquifolium* im Naturschutzgebiet registriert.

Die auf gestörten Flächen, z. B. dem neu angelegten Südwestzufluß, den Waldrändern, den Bootsanlegestellen oder den durch das NSG führenden Pfaden wachsenden Artengemischen können keiner Pflanzengesellschaft eindeutig zugeordnet werden. Auf eine Beschreibung wird deshalb verzichtet. Die dort vorkommenden Arten sind jedoch in der Artenliste vollständig aufgeführt.

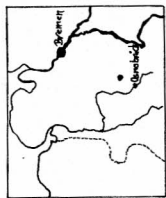
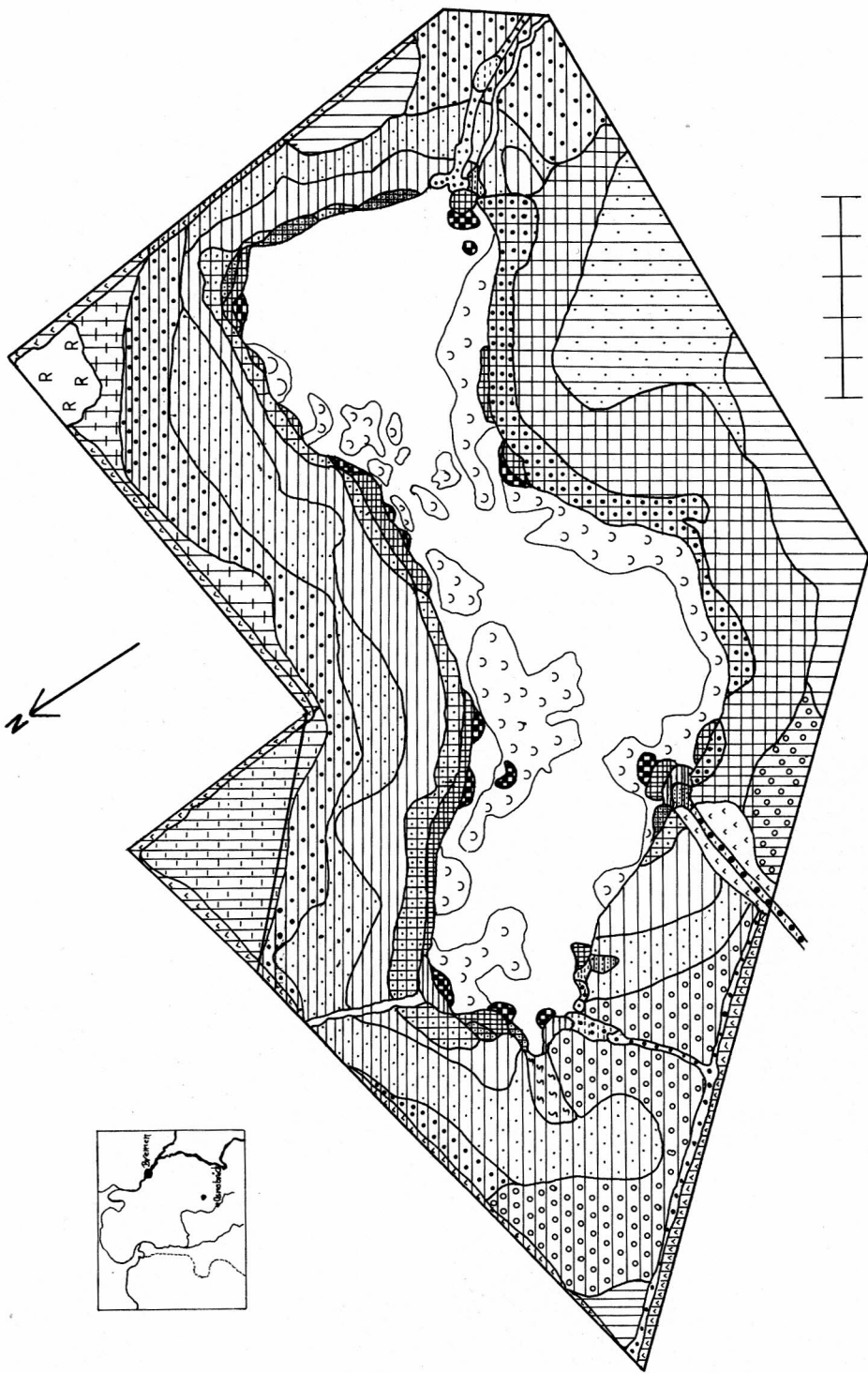
#### Tab. 6 *Querco-Betuletum* Tx 1937

1. *Querco-Betuletum alnetosum* BURRICHTER 1973
2. *Querco-Betuletum molinietosum* Tx 1937
  - 2.1 Übergangsphase zwischen 1 und 2
  - 2.2 Variante ohne *Polygonatum multiflorum*
  - 2.3 Variante mit *Polygonatum multiflorum*



Lfd. Nr.	1				2.1			2.2			2.3			
	1	2	3	4	5	6	7	8	9	10	11	12	13	
Größe d. Aufnahme fläche qm	15	30	90	30	90	50	90	70	65	50	15	20	15	
Baumschicht VB %	70	70	70	40	85	65	75	60	70	5	60	40	70	
Strauchschicht VB %	20	35	15	25	10	50	50	20	45	60	10	20	15	
Krautschicht VB %	60	45	10	50	30	70	15	50	30	35	40	60	90	
Moosschicht VB %	0	1	1	1	5	4	6	1	1	5	4	1	1	
Artenzahl	18	14	18	21	37	32	23	19	21	25	35	23	18	
Ch	<i>Quercus robur</i> B.	2	2	2	1	3	1	2	1	3	.	2	3	3
	<i>Quercus robur</i> Str.	.	.	.	.	.	1	+	1	1	1	+	+	+
	<i>Quercus robur</i> Kr.	.	.	.	.	.	.	.	.	.	.	.	.	.
	<i>Betula pendula</i> B.	2	.	.	.	2	.	1	3	.	.	2	2	3
	<i>Betula pubescens</i> B.	2	3	3	3	2	3	2	1	3	.	2	.	1
	<i>Betula pubescens</i> Str.	.	.	.	.	.	2	+	.	1	+	.	.	+
D <sub>1</sub>	<i>Alnus glutinosa</i> B.	3	.	1	1	1	1	2	.	.	.	.	.	.
	<i>Alnus glutinosa</i> Str.	.	.	.	.	.	.	.	.	.	.	.	.	.
	<i>Lysimachia vulgaris</i>	+	1	1	2	+	+	.	.	.	.	+	.	.
D <sub>2</sub>	<i>Molinia caerulea</i>	1	+	+	+	1	3	+	3	2	1	1	1	+
	<i>Dicranella heteromalla</i>	.	.	.	.	.	.	.	.	.	.	.	.	+
	<i>Vaccinium myrtillus</i>	.	.	.	.	2	+	+	1	2	.	1	.	3
	<i>Avenella flexuosa</i>	.	.	.	.	1	+	+	+	+	+	+	+	.
	<i>Epilobium angustifolium</i>	.	.	.	.	.	.	.	.	.	.	.	.	+
	<i>Moehringia trinervia</i>	.	.	.	.	.	.	.	1	.	+	.	.	+
d <sub>2,3</sub>	<i>Polygonatum multiflorum</i>	.	.	.	.	.	.	.	.	.	.	.	.	+
	<i>Holcus mollis</i>	.	.	.	.	.	.	.	.	.	.	.	.	+
VCh	<i>Lonicera periclymenum</i>	1	2	+	.	+	+	2	+	.	2	1	1	.
	<i>Frangula alnus</i> Str.	1	2	2	1	2	2	2	+	1	2	1	1	1
	<i>Frangula alnus</i> Kr.	.	.	.	.	1	+	.	+	.	.	1	.	+
	<i>Rubus gratus</i>	2	1	1	2	1	+	2	2	3	1	+	.	+
	<i>Sorbus aucuparia</i> Kr.	1	2	1	1	.	.	2	+	1	1	1	2	1
	<i>Sorbus aucuparia</i> Str.	2	2	+	1	+	+	.	.	+	+	1	+	+
	<i>Sorbus aucuparia</i> B.	.	.	.	.	2	.	1	1	1	.	.	.	.
	<i>Hieracium umbellatum</i>	.	+	.	.	.	.	.	.	.	.	r	r	.
	<i>Melampyrum pratense</i>	.	.	.	.	.	.	+	.	.	.	.	.	.
Begl.	<i>Dryopteris carthusiana</i>	+	.	1	+	+	+	1	.	1	1	+	+	.
	<i>Mnium hornum</i>	.	+	+	+	+	+	+	+	+	+	.	.	.
	<i>Rubus idaeus</i>	.	.	+	1	+	+	.	.	1	+	.	.	+
	<i>Pinus sylvestris</i> B.	.	2	.	1	2	2	1	.	.	1	2	.	.
	<i>Pinus sylvestris</i> Kr.	.	.	.	.	.	.	.	.	.	.	.	.	r
	<i>Holcus lanatus</i>	1	.	.	.	1	.	.	.	1	+	1	+	.
	<i>Deschampsia cespitosa</i>	+	.	+	.	1	+	.	.	.	.	.	.	+
	<i>Galeopsis tetrahit</i>	.	+	.	.	+	+	.	r	+	.	.	.	.
	<i>Eurhynchium praelongum</i>	.	.	.	.	+	.	+	.	+	+	.	.	.
	<i>Agrostis tenuis</i>	1	.	+	2	.	.	.	.	.	.	.	.	+
	<i>Anthoxanthum odoratum</i>	+	.	.	.	+	.	.	+	+	.	.	.	.
	<i>Polytrichum commune</i>	.	.	.	.	+	+	.	+	.	.	.	.	.
	<i>Plagiothecium curvifolium</i>	.	.	.	.	+	.	+	.	.	+	.	.	.
	<i>Tetraphis pellucida</i>	.	.	.	.	+	+	+	.	.	+	.	.	.
	<i>Pohlia nutans</i>	.	.	.	.	+	+	.	.	.	+	.	.	.
	<i>Prunus serotina</i>	.	.	.	.	.	.	.	.	.	+	.	.	.
	<i>Hedera helix</i>	.	.	.	.	2	.	.	.	.	.	.	.	3
	<i>Fagus sylvatica</i> Str.	.	.	.	.	+	.	1	.	.	.	.	.	+
	<i>Fagus sylvatica</i> B.	.	.	.	.	.	.	1	.	.	.	.	.	+
	<i>Juniperus communis</i>	.	.	.	.	.	.	.	.	.	.	.	.	.
	<i>Plagiothecium denticulatum</i>	.	.	.	.	.	.	.	.	.	.	.	.	.
	<i>Vaccinium vitis-idea</i>	.	.	.	.	.	.	.	1	.	.	1	.	.
	<i>Lophocolea heterophylla</i>	.	.	.	.	.	.	.	.	.	.	.	.	.
	<i>Maianthemum bifolium</i>	3	2	.	.	.	.	.	.	.	.	.	.	.
	<i>Carex remota</i>	.	.	.	.	.	.	.	.	.	.	.	.	.
	<i>Agrostis canina</i>	.	.	.	.	.	.	1	.	.	.	.	.	.
	<i>Festuca tenuifolia</i>	.	.	.	.	.	.	1	.	.	.	.	.	.
	<i>Carex nigra</i>	.	.	.	.	.	.	.	2	.	.	.	.	.
	<i>Salix cinerea</i>	.	.	.	.	.	.	.	.	.	.	.	.	.
	<i>Poa trivialis</i>	.	.	.	.	.	.	.	.	.	.	.	.	.

Je einmal in Aufnahme 1: *Poa pratensis* +, *Vicia sepium* +; in 3: *Viburnum opulus* 1; in 4: *Galium aparine* +, *Galium palustre* +; in 5: *Picea abies* B. 2, *Carex canescens* +, *Eupatorium cannabinum* +, *Luzula multiflora* +, *Senecio sylvaticus* +, *Solanum dulcamara* +; in 6: *Galium harznicum* +, *Lythrum salicaria*, *Myrica gale*, in 7: *Rubus nessensis* 1, *Dicranum scoparium* +; in 8: *Aulacomnium androgynum* +; in 9: *Carex echinata* +, *Calluna vulgaris* +, *Stellaria media* +; in 10: *Rubus lindberghii* 3; in 11: *Fagus sylvatica* Kr. +, *Rubus conothyrsoides* +, *Polypodium vulgare* +, *Ilex aquifolia* +



## 6. Die Veränderung der Vegetation als Folge der ökologischen Belastung

### 6.1 Verarmung der Unterwasser- und Schwimmblat flora

Die Veränderung der Flora des offenen Wassers hat sich innerhalb von 50 Jahren seit der Unterschutzstellung des Feldungel-See sicher recht unauffällig vollzogen. Schon 1929 bestimmte das Myriophyllo-Nupharetum das Bild der Wasserfläche, wenngleich es damals in einer artenreicheren Ausprägung vorhanden war. Zur Weißen Seerose gesellten sich die Gelbe Teichrose und das Schwimmende Laichkraut. Über die submersen Begleiter liegen keine Angaben vor. Dem Röhricht vorgelagert trat *Hydrocharis morsus-ranae* zu einer eigenen Assoziation zusammen. Die nährstoffempfindlichen Arten der ufernahen Zone *Luronium natans*, *Ranunculus circinatus*, *Ranunculus trichophyllus* und *Baldellia ranunculoides*, die KOCH (1958) noch für den Feldungel-See verzeichnet, sind längst verschollen, ebenso der frei im Wasser schwebende Übersehene Wasserschlauch, den ALTEHAGE (1965) noch erwähnt. Parallel dazu ist das Auftreten von *Ceratophyllum demersum* mit ansteigendem Trophiegrad festzustellen. HOLLWEDEL (1970) spricht von ausgedehnten Rasen im Südwesten und Westen des Sees. *Ceratophyllum demersum* siedelt sich erst unter sehr nährstoffreichen Bedingungen anstelle von *Myriophyllum verticillatum*, der Charakterart des Myriophyllo-Nupharetums, an (WEBER-OLDECOP 1969). Es signalisiert einen erhöhten Nährstoffgehalt, der im Zusammenhang mit der Abwassereileitung von Wochenendhäusern, die ja gerade aus dem südwestlichen Bereich erfolgte, gesehen werden muß. Heute ist *Ceratophyllum demersum* verschwunden. Auch beim Absuchen vom Boot aus mittels Harke konnten keine anderen Unterwasserpflanzen gefunden werden. Die Ursache dafür ist in der starken Ausdehnung von *Nymphaea alba* zu vermuten. Ihre dichten Schwimmblattdecken unterdrücken submerse Hydrophyten, da sie ihnen erstens das Licht entziehen und sie zweitens alljährlich mit ihren in Fäulnis

◁ Abb. 3 Vegetationskarte des Feldungel-Sees

- |  |   |
|--|---|
| 1 Myriophyllo-Nupharetum   | dium mit <i>Lonicera periclymenum</i> – Variante mit <i>Humulus lupulus</i>           |
| 2 <i>Typha angustifolia</i> -Pionierröhricht   | 15 <i>Alnetum glutinosae</i> – Waldsaum-Variante                                      |
| 3 <i>Iris pseudacorus</i> -Gesellschaft – typische Variante  | 16 <i>Querco-Betuletum alnetosum</i>  |
| 4 <i>Iris pseudacorus</i> -Gesellschaft – Var. mit <i>Solanum dulcamara</i>                              | 17 <i>Querco-Betuletum moli nietosum</i> – Übergangsphase zur typischen Variante      |
| 5 Bachröhricht mit <i>Epilobium hirsutum</i>   | 18 <i>Querco-Betuletum molinietosum</i> – Variante mit <i>Pinus sylvestris</i>        |
| 6 Bachröhricht – kennartenlos  | 19 <i>Querco-Betuletum molinietosum</i> – Variante mit <i>Polygonatum multiflorum</i> |
| 7 Bachröhricht mit <i>Agrostis stolonifera</i>   | 20 <i>Querco-Betuletum</i> – typische Variante  |
| 8 <i>Salicetum pentandro-cinereae</i>  | 21 Waldsaum, an das <i>Querco-Betuletum</i> anschließend                              |
| 9 <i>Myrico-Salicetum cinereae</i>   | 22 <i>Sium latifolium</i> -Gesellschaft   |
| 10 <i>Alnetum glutinosae-betuletum pubescentis</i>   | 23 Flutrasen – Variante mit <i>Plantago major</i>                                     |
| 11 <i>Alnetum glutinosae-ranunculetosum repentis</i> – naß   | 24 Flutrasen – Variante mit <i>Urtica dioica</i>                                      |
| 12 <i>Alnetum glutinosae-ranunculetosum repentis</i> – trockener   | 25 Tritrasen  |
| 13 <i>Alnetum glutinosae</i> – Degenerationsstadium mit <i>Lonicera periclymenum</i> – typische Variante | 26 Böschungsvegetation  |
| 14 <i>Alnetum glutinosae</i> – Degenerationsstadium  | 27 Brombeergestrüppe  |
|  | 28 Ruderalfläche  |

übergehenden Resten bedecken. Aufgrund des damit einhergehenden Sauerstoffschwunds und der bei anaeroben Fäulnisprozessen anfallenden H<sub>2</sub>S-Menge sind die bodennahen Wasserschichten als Lebensraum von Unterwasserpflanzen unbewohnbar geworden. Das Fehlen einer Unterwasserflora ist auch in anderen eutrophierten Gewässern wie Lechtegor und Dümmer (WEBER 1980) zu beobachten.

Die Seerosen dagegen sind der schwierigen Sauerstoffversorgung gegenüber gut angepaßt. Mit ihren epistomatischen Schwimmblättern und ihrem Aerenchymssystem versorgen sie die im Schlamm verankerten Rhizome.

Warum *Potamogeton natans* – 1968 noch von HOLLWEDEL (1970) notiert – und *Nuphar luteum* – nach RUNGE (1978) reichlich vorhanden – heute fehlen, kann ebenfalls nur durch die Konkurrenz von *Nymphaea alba* begründet werden. Speziell im Fall von *Nuphar* dürften die steigenden Eutrophieverhältnisse nicht ausschlaggebend gewesen sein, da sie sich unter derartigen Belastungen *Nymphaea* gegenüber überlegen erwiesen hat (WEBER-OLDECOP 1969, WIEGLEB 1976). Bei der geringen Wassertiefe des Feldungel-Sees kann die Gelbe Teichrose jedoch vermutlich von der Seerose verdrängt werden, da diese regenerationsfähiger ist (OBERDORFER 1977), während die Teichrose ihrerseits mit Hilfe ihrer Unterwasserblätter bis auf 4 oder sogar 5 m Tiefe hinabsteigen kann (ELLENBERG 1978).

## 6.2 Veränderungen des Röhrichtgürtels

Die Veränderungen des Röhrichtgürtels sind in mehreren Etappen vor sich gegangen. In dem Gutachten von 1929 ist die Rede von einem geschlossenen Ufersaum des Scirpo-Phragmitetum (siehe auch Fotos von Koch). Eine Aufnahme des Feldungel-Röhricht von TÜXEN (1942) vom 16. 6. 1933 gibt die damaligen Verhältnisse wieder.

Tab. 7: Vegetationsaufnahme vom Feldungel-Röhricht von TÜXEN (1942) vom 16. 6. 33

	Artenzahl	6
ACh	<i>Rumex hydrolapathum</i>	1.1
	<i>Sparganium erectum</i>	1.1
V-K	<i>Typha angustifolia</i>	5.5
	<i>Phragmites australis</i>	2.3
	<i>Ranunculus lingua</i>	1.1
	<i>Alisma plantago-aquatica</i>	+ .1

Die Aufnahme weist Schilf und besonders viel Schmalblättrigen Rohrkolben nach, weshalb TÜXEN sie der Subassoziation des Scirpo-Phragmitetum typhetosum angustifoliae Tx. et PREISING 1914 unterordnete.

Unter den ansteigenden Nährstoffbedingungen konnte sich das Röhricht üppig ausdehnen. Es trieb bis zu 5 m weit in den See vor (ALTEHAGE 1965); im flacheren Mittelteil (1,50 m tief) vereinigten sich Nord- und Südgürtel, so daß die Wasserfläche Mitte der sechziger Jahre in einen Ost- und Westteil gegliedert war (HOLLWEDEL 1970).

Durch starke Weststürme im Jahre 1967 wurden die den See teilenden Röhricht-Bestände zerstört und ans Ostufer abgetrieben (HOLLWEDEL 1970). Von diesem Zeitpunkt an ist ein steter Rückgang des Röhrichts anzunehmen. RUNGE (1978) spricht lediglich von einem schmalen, unterbrochenen Röhrichtstreifen, und heute sind nur noch Fragmente vorhanden.

Entwicklung des Röhrichtgürtels am Feldungel-See in den letzten 50 Jahren, vom Ostufer in Richtung Westen

Abb. 4  
Um 1935 von  
K. Koch:  
zu Beginn der  
Vegetations-  
periode,  
mit *Equisetum*  
*fluviatile*



Abb. 5  
1964 von  
HOLLWEDEL,  
aus HOLLWEDEL  
(1970)



Abb. 6 1981



Der Rückgang und die Artenverschiebung innerhalb des Röhrichts sind nur schwer erklärbar, da gerade die Erhöhung des Nährstoffgehaltes und die Aufschichtung des Seegrundes durch die Seerosen-Stoffproduktion ein weiteres Vordringen des Schilfs erwarten lassen.

Der an zahlreichen „freizeitbelasteten“ Seen Mitteleuropas zu beobachtende Röhricht-Rückgang, insbesondere der des Schilfes (KLÖTZLI 1973, 1976; SUKOPP 1975) ist als ein komplexes Wechselspiel verschiedener Schadfaktoren anzusehen, deren Wirkungsmechanismus und Bedeutung erst in groben Zügen bekannt sind (EBER 1981). Als mögliche Faktoren kommen mechanische Schädigung, Eutrophierung, phytotoxische Wirkungen sowie Schädigung durch Tiere in Frage. Getreibsel-Ansammlungen, die an die Röhrichtfront gedriftet werden und dort durch das Abknicken der Halme den inneren Sauerstoffzustrom zu den Rhizomen unterbrechen, kommen als mechanische Schädigung für den Feldungel-See aufgrund der windgeschützten Lage nur bei außerordentlich starken Stürmen in Betracht. Sie dürften lediglich bei den starken Weststürmen im Jahre 1967 von Bedeutung gewesen sein, als größere Röhrichtbestände ans Ostufer getrieben wurden. Gravierender könnte sich der zu jener Zeit noch lebhafteste unkontrollierte Badebetrieb ausgewirkt haben. Da erhöhte Nährstoffkonzentrationen einerseits durch eine Reduktion des Sklerenchym-Anteils die Festigkeit der Schilfhalme verringern und diese somit mechanischen Belastungen gegenüber anfälliger werden (KLÖTZLI 1971) und andererseits eine vermehrte Algenbildung die Vitalität des Schilfes vermindert, kann man davon ausgehen, daß der erhöhte Nährstoff-Eintrag durch Badebetrieb und Abwasser-Einleitung den Schilfrückgang mitverursacht hat. Weiterhin ist denkbar, daß auch der im Gebiet vorkommende Bisam, der sich vor allem von Schößlingen und Rhizomen des Schilfs ernährt, zum Rückgang des Röhrichts beigetragen hat.

Zusammenfassend ist zu sagen, daß der Rückgang des Röhrichts, speziell des Schilfes am Feldungel-See durch ein Zusammenspiel der genannten Faktoren zu erklären ist. Wesentliche Belastungen sind sicher durch den Freizeitbetrieb („Naturfreibad“, Wochenendhäuser, Camping) eingetreten.

Der kontinuierliche Anstieg des Nährstoffeintrags aus der landwirtschaftlich genutzten Umgebung dürfte sich allgemein auf den Rückgang mesotraphenter Arten wie *Carex rostrata*, *Potentilla palustris* und *Menyanthes trifoliata*, die nach ALTEHAGE (1965) und RUNGE (1978) eigene Gesellschaften am Feldungel-See bildeten, sowie das Hervortreten anspruchsvoller Arten wie *Iris pseudacorus* (HORST et al. 1980) ausgewirkt haben; der Schilfrückgang steht aber damit nicht in Zusammenhang.

### 6.3 Veränderungen des Bruchwaldgürtels

Das Verschwinden der typischen Bruchwald-Arten und die üppige Entfaltung der *Rubus*-Flora im äußeren Erlenbruchgürtel ist auf den Wasserentzug durch Dränung umliegender landwirtschaftlicher Nutzflächen und durch Tiefbrunnen des Wittfeldes zurückzuführen. Vergleichbare Erlenbruch-Degenerationsstadien sind auch am Lechtegor (Kreis Emsland) und am Tiefen Reitgar (Grafschaft Bentheim) entstanden (WEBER 1977).

Die Entwicklung des ehemals reinen Birkenbruchs auf der Südseite des Sees (ALTEHAGE 1965) zum Birken-Erlenbruch hin steht mit der Verbesserung der Nährstoff- und Basenversorgung in Verbindung. Mit pH-Werten von 6,6 entsprechen die Torfböden bereits denen reicher Niedermoore (ELLENBERG 1978). Die Nährstoffzufuhr erfolgt zum

einen durch die winterliche Überschwemmung mit Seewasser, zum anderen dürften Einflüsse aus den anschließenden Privatgrundstücken, die bis vor ca. 15 Jahren mit Wochenendhäusern bebaut waren, eine nicht unbedeutende Rolle gespielt haben. Daß sich unter diesen Bedingungen die Ericetum-Bestände mit *Gentiana pneumonanthe*, *Narthecium ossifragum* und *Drosera rotundifolia* im Übergangsbereich von Niedermoor und Sandboden nicht halten konnten, ist offensichtlich. Gemeinsam mit den Moorbirken wird auch *Myrica gale* aus diesem Bereich verdrängt. Von dem ehemals reichen Vorkommen (KOCH 1941, ALTEHAGE 1965) zeugen nur noch einzelne absterbende Exemplare. In den Jahren 1982–1984 erfolgten gelegentliche Beobachtungen, die jedoch keine wesentlichen Veränderungen erkennen ließen.

Tab. 8 Verschollene und stark im Rückgang begriffene Arten im NSG Feldungel-See

Artname	Gefährdungskategorie nach Roter Liste 1983 (H = Hügelland)	Letzte Angabe bei
<u>1. verschollene Arten</u>		
<i>Andromeda polifolia</i>	3	KOCH 1958
<i>Apium repens</i>	1	KOCH 1958
<i>Baldellia ranunculoides</i>	2	KOCH 1958
<i>Ceratophyllum demersum</i>	-	HOLLEWEDEL 1970
<i>Cicendia filiformis</i>	1	KOCH 1958
<i>Drosera rotundifolia</i>	2H, 3	KOCH 1941
<i>Epipactis palustris</i>	2	KOCH 1958
<i>Equisetum fluviatile</i>	-	ALTEHAGE 1965
<i>Gentiana pneumonanthe</i>	2	KOCH 1941
<i>Hydrocharis morsus-ranae</i>	2H	KOCH 1940
<i>Isolepis setacea</i>	3	KOCH 1958
<i>Juncus capitatus</i>	2	KOCH 1958
<i>Luronium natans</i>	2	KOCH 1958
<i>Narthecium ossifragum</i>	3	KOCH 1958
<i>Nuphar lutea</i>	3	RUNGE 1978 ?
<i>Potamogeton natans</i>	-	HOLLEWEDEL 1970
<i>Ranunculus circinatus</i>	3	KOCH 1958
<i>Ranunculus trichophyllus</i>	3	KOCH 1958
<i>Salix aurita</i>	-	KOCH 1941
<i>Schoenoplectus lacustris</i>	-	KOCH 1929 ?
<i>Triglochin palustre</i>	2	KOCH 1958
<i>Typha latifolia</i>	-	RUNGE 1978 ?
<i>Utricularia australis</i>	3	ALTEHAGE 1965
<i>Vaccinium oxycoccus</i>	3	KOCH 1958
<u>2. stark im Rückgang begriffene Arten</u>		
<i>Carex panicea</i>	(3)	
<i>Carex rostrata</i>	3H	
<i>Cicuta virosa</i>	3	
<i>Erica tetralix</i>	3H	
<i>Eriophorum angustifolium</i>	(3H)	
<i>Juniperus communis</i>	3	
<i>Menyanthes trifoliata</i>	2	
<i>Myrica gale</i>	3	
<i>Phragmites australis</i>	-	
<i>Potentilla palustris</i>	2H	

## 7. Ausblick

Die Vegetation des NSG Feldungel-See hat sich seit Unterschutzstellung im Jahre 1932 entscheidend verändert. Absenkungen des Grundwasserspiegels in der Umgebung, Einflüsse aus den landwirtschaftlich genutzten Nachbarflächen und die Erholungsnutzung führten zur Verarmung der Flora mit dem Verschwinden von 24 Arten sowie der Vernichtung selten gewordener Pflanzengesellschaften. Allgemein verbreitete Vegetationstypen haben ihren Platz eingenommen.

Trotz der angeführten Einbußen ist das NSG Feldungel-See weiterhin erhaltenswert. Zum Schutz der verbliebenen Naturwerte kommen folgende Schutzmaßnahmen in Betracht:

Um die steigende Nährstoffbelastung des Gewässers einzudämmen, könnte nach erneuter Berechnung des Grundwasseranteils an der Wasserzufuhr des Sees eine Schließung und Umleitung der Zuflüsse erwogen werden.

Einer notwendigen Erweiterung der Pufferzonen sind durch Straße, Weg und Acker Grenzen gesetzt. Um die Wirksamkeit der vorhandenen Randzonen zu erhalten, ist eine sofortige Beseitigung von abgelagerten Gartenabfällen, Stallmist und sonstigem Unrat erforderlich.

Eine Entfernung des Strauchbewuchses im Verlandungsbereich würde die Erneuerung des Röhrichsaumes begünstigen.

Es wird deutlich, daß die Unterschutzstellung eines Gebietes nicht unbedingt auch die Erhaltung schützenswerter Naturinhalte bedeutet. Regelmäßige Kontrollen und flankierende Maßnahmen sind unverzichtbarer Bestandteil wirkungsvollen Naturschutzes. Die insbesondere in den sechziger Jahren stark aufgetretenen Belastungen im Naturschutzgebiet Feldungel-See führten zur Verarmung der Vegetation, die heute nicht mehr rückgängig zu machen ist. Jedoch lassen sich aus dieser Entwicklung für andere Naturschutzgebiete, deren Degenerierung noch nicht so weit fortgeschritten ist, Rückschlüsse ziehen, um die dauerhafte Erhaltung zu gewährleisten:

1. Regelmäßige Kontrollen sind notwendig, um bei negativen Entwicklungen frühzeitig Gegenmaßnahmen einleiten zu können.
2. Voraussetzung für einen wirkungsvollen Schutz sind ausreichend große Pufferzonen.
3. Die Verhinderung von Nährstoffeintrag aus der Umgebung, insbesondere durch Zuflüsse aus intensiv genutzten landwirtschaftlichen Gebieten ist erforderlich. Eine Verringerung der Belastung könnte der 1983 in Kraft getretene sogenannte „Gülleerlaß“ des niedersächsischen Landwirtschaftsministers bewirken, der die Ausbringung organischer Dünger während der Vegetationsruhe untersagt und Höchstmengen für die Ausbringung festlegt. In einigen Fällen sind Umleitungen der Zuflüsse um die Naturschutzgebiete herum als wirkungsvolle Maßnahmen anzusehen.
4. Der Besucherverkehr darf sich nicht störend auswirken.

Herrn Prof. Dr. Dr. H. E. WEBER danke ich für seine Unterstützung bei der Planung und Durchführung der Arbeiten im Gelände und insbesondere für die Bestimmung der *Rubus*-Arten. Herzlicher Dank gilt auch MARIA und WALTER HOFFMEISTER für ihre große Hilfsbereitschaft bei der Analyse der Wasserproben.

Diese Arbeit entstand im Rahmen meiner ersten Staatsexamensprüfung unter der Betreuung von Prof. Dr. H. DIERSCHKE, Institut für Geobotanik, Universität Göttingen.



## 8. Artenliste des NSG Feldungel-See

\* Arten der Roten Liste Gefäßpflanzen Niedersachsen 1983

<i>Acer platanoides</i>	Spitz-Ahorn
<i>Achillea millefolium</i>	Wiesen-Scharfgarbe
<i>Achillea ptarmica</i>	Sumpf-Scharfgarbe
<i>Aegopodium podagraria</i>	Giersch
<i>Agropyron repens</i>	Gemeine Quecke
<i>Agrostis canina</i>	Hunds-Straußgras
<i>Agrostis stolonifera</i>	Weißes Straußgras
<i>Agrostis tenuis</i>	Gemeines Straußgras
<i>Alisma plantago-aquatica</i>	Gemeiner Froschlöffel
<i>Alnus glutinosa</i>	Schwarz-Erle
<i>Alnus incana</i>	Grau-Erle
<i>Alopecurus pratensis</i>	Wiesen-Fuchsschwanz
<i>Angelica sylvestris</i>	Wald-Engelwurz
<i>Anthoxanthum odoratum</i>	Gewöhnliches Ruchgras
<i>Arrhenaterum elatius</i>	Glatthafer
<i>Athyrium filix-femina</i>	Wald-Frauenfarn
<i>Atriplex hastata</i>	Spießblättrige Melde
<i>Avenella flexuosa</i>	Geschlängelte Schmiele
<i>Berula erecta</i>	Aufrechter Merk
<i>Betula pendula</i>	Hänge-Birke
<i>Betula pubescens</i>	Moor-Birke
<i>Bidens frondosa</i>	Schwarzfrüchtiger Zweizahn
<i>Bidens tripartita</i>	Dreiteiliger Zweizahn
<i>Calamagrostis canescens</i>	Sumpf-Reitgras
* <i>Callitriche palustris</i> agg.	Sumpf-Wasserstern
<i>Calluna vulgaris</i>	Heidekraut
<i>Caltha palustris</i>	Sumpfdotterblume
<i>Cardamine pratensis</i>	Wiesen-Schaumkraut
<i>Carex canescens</i>	Grau-Segge
* <i>Carex echinata</i>	Stern-Segge
<i>Carex elata</i>	Steife Segge
<i>Carex nigra</i>	Schwarze Segge
* <i>Carex panicea</i>	Hirsen-Segge
* <i>Carex pseudocyperus</i>	Zypergras-Segge
<i>Carex remota</i>	Winkel-Segge
* <i>Carex rostrata</i>	Schnabel-Segge
<i>Cerastium arvense</i>	Acker-Hornkraut
<i>Cerastium fontanum</i>	Quell-Hornkraut
<i>Chaerophyllum temulum</i>	Hecken-Kälberkropf
<i>Chrysanthemum vulgare</i>	Rainfarn
* <i>Cicuta virosa</i>	Wasserschierling
<i>Circea lutetiana</i>	Gewöhnliches Hexenkraut
<i>Cirsium arvense</i>	Acker-Kratzdistel
<i>Cirsium palustre</i>	Sumpf-Kratzdistel
<i>Cirsium vulgare</i>	Gewöhnliche Kratzdistel
<i>Convolvulus arvensis</i>	Acker-Winde
<i>Corylus avellana</i>	Hasel
<i>Crataegus monogyna</i>	Eingriffeliger Weißdorn
<i>Dactylis glomerata</i>	Wiesen-Knäuelgras
<i>Deschampsia cespitosa</i>	Rasen-Schmiele
<i>Dryopteris carthusiana</i>	Gewöhnlicher Dornfarn

<i>Epilobium angustifolium</i>	Schmalblättriges Weidenröschen
<i>Epilobium hirsutum</i>	Zottiges Weidenröschen
<i>Epilobium obscurum</i>	Dunkelgrünes Weidenröschen
<i>Epilobium palustre</i>	Sumpf-Weidenröschen
<i>Epilobium roseum</i>	Rosenrotes Weidenröschen
<i>Epipactis helleborine</i>	Breitblättrige Stendelwurz
<i>Equisetum arvense</i>	Acker-Schachtelhalm
* <i>Erica tetralix</i>	Glockenheide
* <i>Eriophorum angustifolium</i>	Schmalblättriges Wollgras
<i>Euonymus europaeus</i>	Gewöhnliches Pfaffenhütchen
<i>Eupatorium cannabinum</i>	Wasserdost
<i>Fagus sylvatica</i>	Rotbuche
<i>Fallopia convolvulus</i>	Winden-Knöterich
<i>Festuca rubra</i>	Roter Schwingel
<i>Festuca tenuifolia</i>	Haar-Schwingel
<i>Filipendula ulmaria</i>	Mädesüß
<i>Fragaria vesca</i>	Wald-Erdbeere
<i>Frangula alnus</i>	Faulbaum
<i>Fraxinus excelsior</i>	Gewöhnliche Esche
<i>Galeopsis tetrahit</i>	Gewöhnlicher Hohlzahn
<i>Galium aparine</i>	Klettenlabkraut
<i>Galium elongatum</i>	Sumpf-Labkraut
<i>Galium hircynicum</i>	Sand-Labkraut
<i>Galium mollugo</i>	Wiesenlabkraut
<i>Galium palustre</i>	Sumpf-Labkraut
* <i>Galium sylvaticum</i>	Wald-Labkraut
<i>Geranium robertianum</i>	Stinkender Storchschnabel
<i>Geum urbanum</i>	Echte Nelkenwurz
<i>Glechoma hederacea</i>	Gundermann
<i>Glyceria fluitans</i>	Flutender Schwaden
<i>Hedera helix</i>	Efeu
<i>Heracleum sphondyleum</i>	Gewöhnlicher Bärenklau
<i>Hieracium sylvaticum</i>	Wald-Habichtskraut
<i>Hieracium umbellatum</i>	Doldiges Habichtskraut
<i>Holcus lanatus</i>	Wolliges Honiggras
<i>Holcus mollis</i>	Weiches Honiggras
<i>Humulus lupulus</i>	Hopfen
* <i>Hydrocotyle vulgaris</i>	Wassernabel
<i>Hypericum perforatum</i>	Echtes Johanniskraut
<i>Ilex aquifolium</i>	Stechpalme
<i>Iris pseudacorus</i>	Gelbe Schwertlilie
<i>Juncus articulatus</i>	Glanzfrüchtige Binse
<i>Juncus bulbosus</i>	Zwiebel-Binse
<i>Juncus effusus</i>	Flatter-Binse
* <i>Juniperus communis</i>	Wacholder
<i>Lamium album</i>	Weißes Taubnessel
<i>Lemna minor</i>	Kleine Wasserlinse
* <i>Listera ovata</i>	Gewöhnliches Zweiblatt
<i>Lolium perenne</i>	Englisches Raygras
<i>Lonicera periclymenum</i>	Wald-Geißblatt
<i>Lotus uliginosus</i>	Sumpf-Hornklee
<i>Luzula multiflora</i>	Vielblütige Hainsimse
<i>Lycopus europaeus</i>	Wolfstrapp
<i>Lysimachia nummularia</i>	Pfennigkraut

<i>Lysimachia vulgaris</i>	Gewöhnlicher Gilbweiderich
<i>Lythrum salicaria</i>	Blut-Weiderich
<i>Maianthemum bifolium</i>	Schattenblume
* <i>Malus sylvestris</i>	Apfel
<i>Melampyrum pratense</i>	Wiesen-Wachtelweizen
<i>Melandrium rubrum</i>	Tag-Lichtnelke
<i>Mentha aquatica</i>	Wasser-Minze
* <i>Menyanthes trifoliata</i>	Fiebertee
<i>Moehringia trinervia</i>	Dreinervige Nabelmiere
<i>Molinia caerulea</i>	Blaues Pfeifengras
<i>Myosotis palustris</i>	Sumpf-Vergißmeinnicht
* <i>Myrica gale</i>	Gagel
<i>Nasturtium officinale</i>	Echte Brunnenkresse
<i>Oxalis fontana</i>	Aufrechter Sauerklee
<i>Picea abies</i>	Fichte
<i>Pinus sylvestris</i>	Wald-Kiefer
<i>Phalaris arundinacea</i>	Rohr-Glanzgras
<i>Phragmites australis</i>	Schilfrohr
<i>Plantago intermedia</i>	Mittlerer Wegerich
<i>Plantago lanceolata</i>	Spitz-Wegerich
<i>Plantago major</i>	Großer Wegerich
<i>Poa annua</i>	Einjähriges Rispengras
<i>Poa pratensis</i>	Wiesen-Rispengras
<i>Poa trivialis</i>	Gewöhnliches Rispengras
<i>Polygonatum multiflorum</i>	Vielblütige Weißwurz
<i>Polygonum hydropiper</i>	Wasserpfeffer
<i>Polygonum mite</i>	Milder Knöterich
<i>Potentilla anserina</i>	Gänse-Fingerkraut
<i>Potentilla erecta</i>	Blutwurz
* <i>Potentilla palustris</i>	Sumpf-Blutauge
<i>Populus nigra</i>	Schwarz-Pappel
<i>Populus tremula</i>	Zitter-Pappel
<i>Prunella vulgaris</i>	Kleine Brunelle
<i>Prunus padus</i>	Traubenkirsche
<i>Prunus serotina</i>	Späte Traubenkirsche
<i>Quercus robur</i>	Stiel-Eiche
<i>Ranunculus auricomus</i>	Gold-Hahnenfuß
<i>Ranunculus ficaria</i>	Scharbockskraut
<i>Ranunculus flammula</i>	Brennender Hahnenfuß
* <i>Ranunculus lingua</i>	Zungen-Hahnenfuß
<i>Ranunculus repens</i>	Kriechender Hahnenfuß
<i>Ribes rubrum</i>	Rote Johannisbeere
<i>Ribes uva-crispa</i>	Stachelbeere
<i>Rorippa amphibia</i>	Wasserkresse
<i>Rubus conochothyrsoides</i>	Brombeere
<i>Rubus ferocior</i>	Brombeere
<i>Rubus geniculatus</i>	Brombeere
<i>Rubus gratus</i>	Brombeere
<i>Rubus idaeus</i>	Himbeere
<i>Rubus lindebergii</i>	Brombeere
<i>Rubus nessensis</i>	Brombeere
<i>Rubus placidus</i>	Brombeere
<i>Rubus plicatus</i>	Brombeere
<i>Rubus vigorosus</i>	Brombeere

*Rumex acetosa*  
*Rumex acetosella*  
*Rumex conglomeratus*  
*Rumex hydrolapathum*

*Sagina procumbens*  
*Salix cinerea*  
*Salix cinerea x aurita*  
*Salix pentandra*  
*Sambucus nigra*  
*Scirpus sylvaticus*  
\**Sium latifolium*  
*Scutellaria galericulata*  
*Senecio sylvaticus*  
*Solanum dulcamara*  
*Sorbus aucuparia*

*Sparganium erectum*  
*Stachys palustris*  
*Stellaria graminea*  
*Stellaria holostea*  
*Stellaria media*

*Taraxacum officinale*  
*Trifolium repens*  
*Torilis japonica*  
*Typha angustifolia*

*Urtica dioica*  
*Urtica urens*

*Vaccinium myrtillus*  
*Vaccinium vitis-idea*  
\**Valeriana dioica*  
*Valeriana procurrans*  
\**Veronica anagallis-aquatica*  
*Veronica beccabunga*  
*Veronica chamaedrys*  
*Vicia cracca*  
*Vicia sepium*  
*Viburnum opulus*  
*Viola palustris*  
*Viola riviniana*

## **Moose**

*Acrocladium cuspidatum*  
*Atrichum undulatum*  
*Aulacomnium androgynum*  
*Brachythecium velutinum*  
*Calypogeia muelleriana*  
*Cephalozia bicuspidata*  
*Cephalozia starkei*  
*Dicranella heteromalla*  
*Dicranum bonjeanii*  
*Dicranum scoparium*  
*Drepanocladus spec.*  
*Eurhynchium praelongum*  
*Lophocoelea bidentata*  
*Lophocoelea heterophylla*

Wiesen-Sauer-Ampfer  
Kleiner Sauer-Ampfer  
Knäuel-Ampfer  
Teich-Ampfer

Niederliegendes Mastkraut  
Grau-Weide  
Grau-Weide x Öhrchen-Weide  
Lorbeer-Weide  
Schwarzer Holunder  
Wald-Simse  
Gewöhnliches Helmkraut  
Wald-Greiskraut  
Großer Merk  
Bittersüßer Nachtschatten  
Eberesche

Ästiger Igelkolben  
Sumpf-Ziest  
Gras-Sternmiere  
Große Sternmiere  
Vogel-Sternmiere

Gewöhnlicher Löwenzahn  
Weiß-Klee  
Gewöhnlicher Klettenkerbel  
Schmalblättriger Rohrkolben

Große Brennnessel  
Kleine Brennnessel

Heidelbeere  
Preiselbeere  
Sumpf-Baldrian  
Kriechender Arznei-Baldrian  
Gauchheil-Ehrenpreis  
Bachbunze  
Gamander-Ehrenpreis  
Vogel-Wicke  
Zaun-Wicke  
Gewöhnlicher Schneeball  
Sumpf-Veilchen  
Hain-Veilchen

*Mnium affine*  
*Mnium cuspidatum*  
*Mnium hornum*  
*Mnium punctatum*  
*Mnium undulatum*  
*Pellia epiphylla*  
*Plagiothecium curvifolium*  
*Plagiothecium denticulatum*  
*Pohlia nutans*  
*Polytrichum commune*  
*Sphagnum palustre*  
*Sphagnum recurvum*  
*Sphagnum squarrosum*  
*Sphagnum teres*  
*Tetraphis pellucida*

## Schriftenverzeichnis

- ALTEHAGE, K. (1965): Die Naturschutzgebiete des Landkreises Bersenbrück. Heimat gestern und heute. – Mitt. Kreisheimatb. Bersenbrück, **13**: 10.
- BODEUX, A. (1955): Alnetum glutinosae. – Mitt. flor.-soz. Arbeitsgem. NF **5**: 114–137; Göttingen.
- BRAUN-BLANQUET, J. (1964): Pflanzensoziologie. – 3. Auflage, 865 Seiten; Wien.
- DIERSCHE, H. (1975): Die Vegetation des Langholter- und Rhauder Meeres und seiner Randgebiete. – Mittl. flor.-soz. Arbeitsgem. NF **18**: 157–202; Göttingen.
- EBER, W. (1981): Abschlußbericht über das Forschungsvorhaben ‚Pflanzenökologische Untersuchungen zum Röhrichrückgang am Zwischenahner Meer‘. – Schriftl. Mitt.
- ELLENBERG, H. (1974): Zeigerwerte der Gefäßpflanzen Mitteleuropas. – Scripta Geobotanica, **9**: Göttingen.
- (1978): Vegetation Mitteleuropa mit den Alpen. – 2. Auflage. 981 S.; Stuttgart
- GRAHLE, H.-O. & STAESCHE, U. (1964): Die natürlichen Seen Niedersachsens. – Geol. Jb., **81**: 809–838; Hannover.
- HAEUPLER, A., MONTAG, A., WÖLDECKE K. & GARVE, E. (1983): Rote Liste Gefäßpflanzen, 3. Fassung vom 1. 10. 1983. – Niedersächsisches Landesverwaltungsamt – Fachbehörde für Naturschutz; Hannover.
- HÖPPNER, H. (1980): Die Vegetation ehemaliger Heidetümpel im Altkreis Bersenbrück (Gemeinde Druchhorn) und die Veränderung der Vegetationszusammensetzung am Beispiel des Naturdenkmals ‚Engelbergs Moor‘. – Inf. Natursch. Landschaftspfl., **2**: 111–140; Wardenburg.
- HOFFMEISTER, W. (1963): Bericht von zeitlich verschiedenen Probeentnahmen aus dem Feldungelsee am 16. 6. 63. – Vivarien-Bote: 182–197; Osnabrück.
- (1965): Wasserzu- und -abflussmengen des Feldungelsee bei Kalkriese und ihre Messungen. – Hydrobiologie und Vivaristik: 5–11; Osnabrück.
- (1970): Tätigkeitsbericht der Arbeitsgemeinschaft für Hydrobiologie mit praktischen Beispielen von Arbeiten und Teilergebnissen am Feldungelsee. – Veröff. naturwiss. Ver. Osnabrück, **33**: 323–327; Osnabrück.
- HOLLWEDEL, W. (1970): Über die Cladocerenfauna des Feldungelsees bei Engter. – Veröff. naturwiss. Ver. Osnabrück, **33**: 92–116; Osnabrück.
- HORST K., EVERS, U. & SCHIERHOLD, M. (1980): Zur Vegetation und Ökologie des Naturschutzgebietes Sager Meer im südlichen Oldenburg. – Drosera, **2**: 71–90; Oldenburg.
- KLÖTZLI, F. (1971): Biogenous influence on aquatic macrophytes, especially Phragmites communis. – Hydrobiologia, **12**: 107–111; Romania.
- (1973): Über Belastbarkeit und Produktion in Schilfröhricht. – Verhandl. Gesellsch. Ökologie; Saarbrücken, Sonderdruck
- & GRÜNING, A. (1976): Seeufervegetation als Bioindikator. – Daten u. Dokumente ü. Umweltforschung, **19**, 109–131.
- KOCH, K. (1929): Darnsee und Feldungelsee bei Bramsche. Gutachten zur Schutzwürdigkeit vom 10. 7. 1929. – Archiv des Nds. Landesverwaltungsamtes – Naturschutz, Landschaftspflege, Vogelschutz.
- (1941): Natur- und Landschaftsschutz im Regierungsbezirk Osnabrück. – Archiv für Landes- und Volkskunde von Niedersachsen; Oldenburg.
- (1958): Flora des Regierungsbezirks Osnabrück und der angrenzenden Gebiete. 2. Auflage; Osnabrück (Rackhorstsche Buchhdlg)
- OBERDORFER, E. (1977): Süddeutsche Pflanzengesellschaften. – Teil I; Stuttgart.
- RUNGE, F. (1978): Die Naturschutzgebiete Westfalens und des früheren Regierungsbezirks Osnabrück. – Münster.
- SUKOPP, H., MARKSTEIN, B. & TREPL, L. (1975): Röhrichte unter intensivem Großstadteinfluß. – Beitr. naturk. Forsch. Südw.-Dtl., **34**: 371–385.
- TIEDE, W. (1970): Zur Bodenkunde um Bramsche. – Heimat-Jb. des Kreises Bersenbrück; Ankum.
- TÜXEN, R. (1942): Grundbegriffe und Methoden zum Studium der Wasser- und Sumpfpflanzen-Gesellschaften. – Deutsche Wasserwirtschaft, **37**: 3–23.
- WEBER, H. E. (1977): Das Lechtegor – Vegetationsentwicklung eines Sees nach Umgestaltung der Landschaft im südlichen Emsland. – Osnabrücker naturwiss. Mitt., **5**: 131–156; Osnabrück.
- (1978): Vegetation des Naturschutzgebiets Balksee und Randmoore. – Naturschutz und Landschaftspflege in Niedersachsen, **9**: 1–168; Hannover.

- (1980): Zur Situation der natürlichen Stillgewässer und Baggerseen im westlichen Niedersachsen. – Inf. Natursch. Landschaftspflege, 2: 93–102; Wardenburg.
- WEBER-OLDECOP, D. W. (1969): Wasserpflanzengesellschaften im östlichen Niedersachsen. – Dissertation TU Hannover.
- WIEGLEB, G. (1976): Untersuchungen über den Zusammenhang zwischen Chemismus und Makrophytenvegetation stehender Gewässer in Niedersachsen. – Dissertation Göttingen.